

ปีการศึกษา 2533

ระบบควบคุมความเร็วมอเตอร์ไฟฟ้ากระแสตรงชนิดกระตุ้นแยกด้วยลวดาดีคคอนเวอร์เตอร์
Speed Control of Separately Excited DC Motor by Static Converter

โดย

นาย ประยทธ ศรีปัญญาวิษฐ์ 301139

นาย สุกันต์ อินทพิบูลย์ 301317

อาจารย์ที่ปรึกษา

นาย วรศักดิ์ จิตรภักดี

เลขหม่..... T 33137 ๗๔
เลขทะเบียน..... 027970
วัน, เดือน, ปี 81.๑.๓๔

เอกสารนี้เป็นเอกสารที่สงวนไว้สำหรับการใช้งานเพื่อการศึกษาเท่านั้น ไม่อนุญาตให้นำไปใช้ประโยชน์ด้านการค้า
ไม่ว่ากรณีใดๆ ทั้งสิ้น อีกทั้งห้ามมิให้ดัดแปลงเนื้อหา และต้องอ้างอิงถึงเจ้าของเอกสารทุกครั้งที่มีการนำไปใช้

ปริญญาโทปีการศึกษา 2533

ภาควิชา ระบบควบคุม

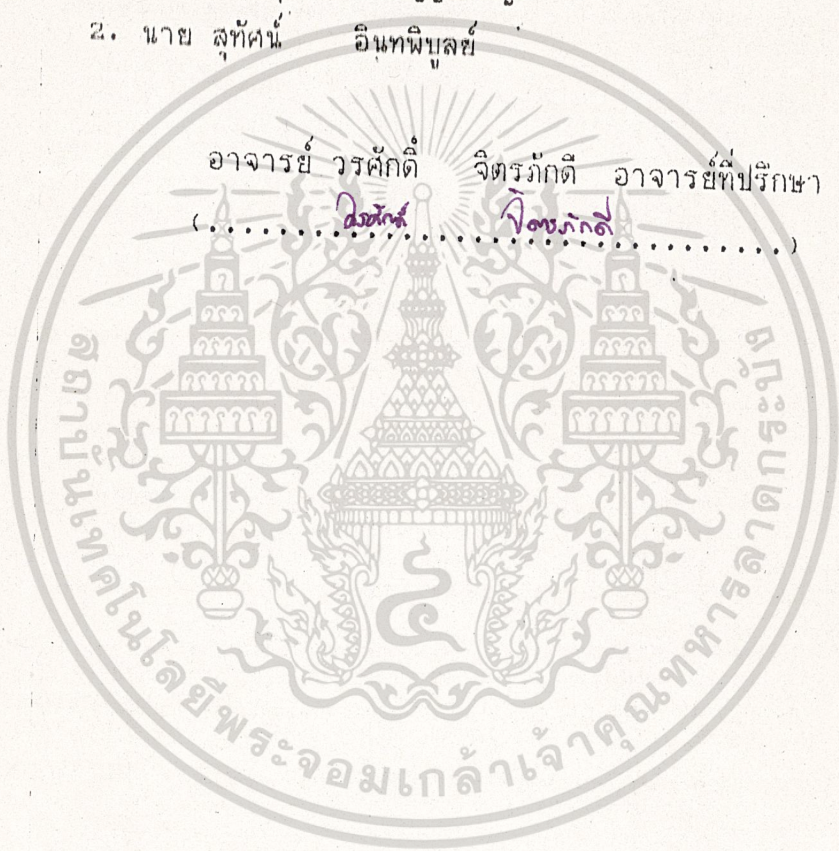
คณะวิศวกรรมศาสตร์ สถาบันเทคโนโลยีพระจอมเกล้าเจ้าคุณทหารลาดกระบัง

เรื่อง ระบบควบคุมความเร็วรอบมอเตอร์ไฟฟ้ากระแสตรงชนิดกระตุ้นแยกด้วยสตาติค
คอนเวอร์เตอร์

ผู้จัดทำ

1. นาย ประยุทธ์ ศรีปัญญาวิชัย
2. นาย สุกข์พันธ์ อินทพิบูลย์

อาจารย์ วรศักดิ์ จิตรภักดี อาจารย์ที่ปรึกษา
 (..... *โดยศักดิ์* *จิตภักดี*)



เอกสารนี้เป็นเอกสารที่สงวนไว้สำหรับการใช้งานเพื่อการศึกษาเท่านั้น ไม่อนุญาตให้นำไปใช้ประโยชน์ด้านการค้า
 ไม่ว่ากรณีใดๆ ทั้งสิ้น อีกทั้งห้ามมิให้ดัดแปลงเนื้อหา และต้องอ้างอิงถึงเจ้าของเอกสารทุกครั้งที่มีการนำไปใช้

ระบบควบคุมความเร็วมอเตอร์ไฟฟ้ากระแสตรงชนิดกระตุ้นแยก

ประยพช ศรีปญญวิวัฒน์

สุทัศน์ อินทพิบูลย์

อ.วรศักดิ์ จิตรภักดี อาจารย์ที่ปรึกษา

ปีการศึกษา 2533

บทคัดย่อ

ปริญญานิพนธ์ฉบับนี้อธิบายถึง การออกแบบ การสร้าง และการทดลองของระบบควบคุมความเร็วรอบมอเตอร์ไฟฟ้ากระแสตรงชนิดกระตุ้นแยก (Separately Excited DC Motor) โดยใช้วงจรอิเล็กทรอนิกส์กำลัง (Power Electronic Circuit) ทำหน้าที่จ่ายกำลังให้มอเตอร์ ระบบควบคุมที่ใช้เป็นระบบควบคุมชนิดคาสเคด (Cascade Control System) โดยมีระบบควบคุมกระแสไฟฟ้าตรงไหลเข้าวงจรอาร์มาเจอร์ (Armature Circuit) เป็นลูปควบคุมภายใน (Subordinate Control Loop) และมีระบบควบคุมความเร็วรอบเป็นลูปภายนอกอีกชั้นหนึ่ง ส่วนวงจรควบคุม (Controller Circuit) ใช้วงจรควบคุมอนาล็อกชนิด PI (Proportional plus Integral Analog Controller Circuit) จากผลการทดลองระบบที่สร้างขึ้นโดยให้มอเตอร์หมุนที่ความเร็วรอบ 1,500 รอบต่อนาที แล้วเพิ่มโหลดให้กับมอเตอร์ในทันทีทันใด (step-load) จากไม่มีโหลดไปยังโหลดเต็มที่ของมอเตอร์ระบบนี้สามารถทำให้มอเตอร์หมุนกลับสู่ความเร็วรอบเดิมได้ภายใน 2 วินาที

II

Speed Control of Separately Excited DC Motor

PRAYOOT SRIPUNYAWICHYA

SUTAS INTAPIBOOL

WORASAK JITRAPUKDEE Advisor

1990

Abstract

This thesis describes the design, development and experimental analysis of the speed control of a separately excited DC motor, using a power electronic circuit which controls the power of the motor.

This control system is a cascade control system having direct current of amature circuit as the subordinate control loop and speed control as the external control loop. The controller unit uses proportional plus integral analog control.

The result of tests on the built system show that if the motor rotates at a speed of 1,500 revolutions per minute, and an increased load is immediately applied to the motor, its status changing from unloaded to fully loaded condition, the system causes the motor to return to its former speed within 2 seconds.

สารบัญ

	หน้า
บทคัดย่อ	I
Abstract	II
สารบัญรูป	1
รายละเอียดของอุปกรณ์ที่ใช้ในวงจรทดลอง	4
สัญลักษณ์	6
บทที่ 1 บทนำ	10
บทที่ 2 วัตถุประสงค์และแนวความคิดในการทำปริญญานิพนธ์	13
บทที่ 3 วงจรอิเล็กทรอนิกส์กำลัง	18
บทที่ 4 มอเตอร์ไฟฟ้ากระแสตรงชนิดกระตุ้นแยก	26
บทที่ 5 อุปกรณ์วัด	33
บทที่ 6 ระบบควบคุมและวงจรควบคุม	40
บทที่ 7 การทดลองและผลการทดลอง	53
บทที่ 8 บทสรุป	60
กิตติกรรมประกาศ	64
เอกสารอ้างอิง	65

เอกสารนี้เป็นเอกสารที่สงวนไว้สำหรับการใช้งานเพื่อการศึกษาเท่านั้น ไม่อนุญาตให้นำไปใช้ประโยชน์ด้านการค้า
ไม่ว่ากรณีใดๆ ทั้งสิ้น อีกทั้งห้ามมิให้ดัดแปลงเนื้อหา และต้องอ้างอิงถึงเจ้าของเอกสารทุกครั้งที่มีการนำไปใช้

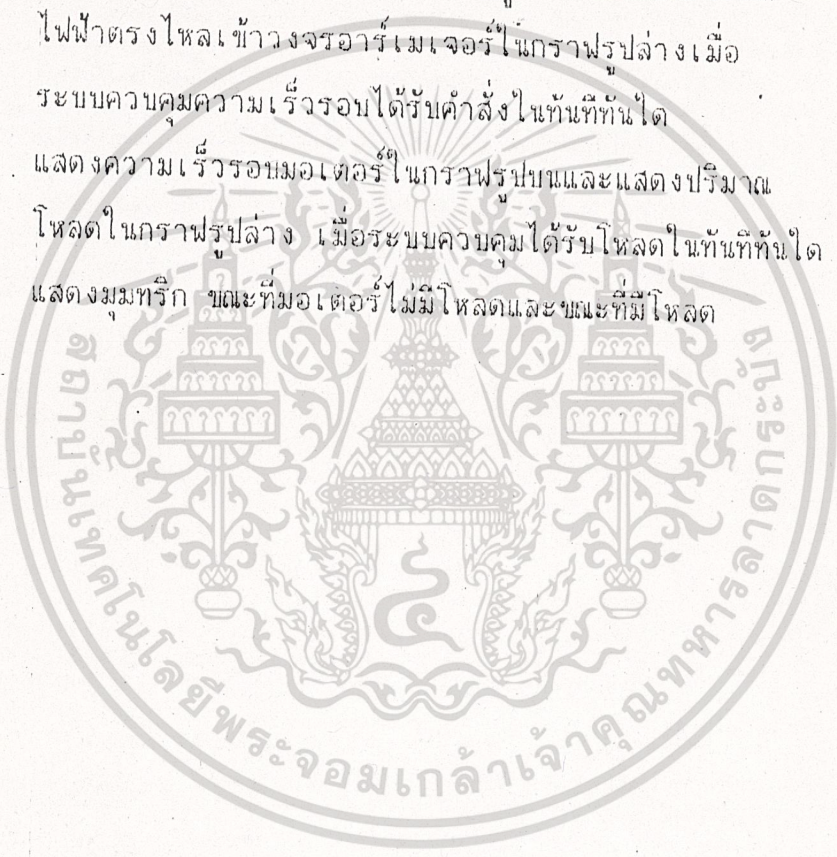
สารบัญรูป

รูปที่ 2.1	แสดงบล็อกไดอะแกรมแนวความคิดเริ่มแรกของระบบควบคุม ความเร็วมอเตอร์ไฟฟ้ากระแสตรงชนิดกระตุ้นแยก	14
รูปที่ 2.2	แสดงบล็อกไดอะแกรมแนวความคิดของระบบควบคุมมอเตอร์ ไฟฟ้า	
รูปที่ 3.1	แสดงแผนผังวงจรวจรอิเล็กทรอนิกส์กำลังแบบควบคุมได้ครึ่งหนึ่ง ชนิด 1 เฟส	16
รูปที่ 3.2	แสดงบล็อกไดอะแกรมของวงจรวจรอิเล็กทรอนิกส์กำลัง	19
รูปที่ 3.3	แสดงวงจรวจรสร้างสัญญาณกระตุ้น	21
รูปที่ 3.4	วงจรมอเตอร์สร้างสัญญาณกระตุ้น	22
รูปที่ 3.5	แสดงแผนผังของหม้อแปลงกระตุ้น	23
รูปที่ 4.1	แสดงไดอะแกรมอย่างง่ายของมอเตอร์กระแสตรงชนิดกระตุ้นแยก	26
รูปที่ 4.2	แสดงความสัมพันธ์ของความเร็วรอบและกำลังบิดเมื่อตัดเอาไฟฟ้า ตรงที่ขั้วของอาร์เมเจอร์มีค่าคงที่	28
รูปที่ 4.3	แสดงบล็อกไดอะแกรมของมอเตอร์ไฟฟ้ากระแสตรงชนิดกระตุ้นแยก	31
รูปที่ 5.1	แสดงวิธีวัดกระแสไฟฟ้าตรงไหลเข้าวงจรวจรอาร์เมเจอร์โดยใช้หลัก การหม้อแปลงกระแสตรง	33
รูปที่ 5.2	แสดงความสัมพันธ์ระหว่างกระแสไฟฟ้าไหลเข้าวงจรวจรอาร์เมเจอร์ และคัทตาไฟฟ้าที่ได้จากการวัด	34
รูปที่ 5.3	แสดงบล็อกไดอะแกรมของการวัดกระแสไฟฟ้าตรงไหลเข้าวงจรวจร อาร์เมเจอร์	34
รูปที่ 5.4	แสดงบล็อกไดอะแกรมอย่างง่ายของทาโคเจนเนอเรเตอร์ กระแสไฟฟ้าตรงชนิดแม่เหล็กถาวร	35
รูปที่ 5.5	แสดงความสัมพันธ์ระหว่างความเร็วรอบมอเตอร์ n และคัทตา ไฟฟ้าตรง V_T ที่ถูกสร้างขึ้นโดยทาโคเจนเนอเรเตอร์	35
รูปที่ 5.6	แสดงบล็อกไดอะแกรมของการวัดความเร็วรอบ	36

รูปที่ 5.7	แสดงวงจรสัญญาณความถี่ต่ำผ่าน	37
รูปที่ 5.8	แสดงบล็อกไดอะแกรมของวงจรกรองสัญญาณความถี่ต่ำ	38
รูปที่ 6.1	แสดงระบบควบคุมซึ่งมีวงจรควบคุมชนิด PI และอุปกรณ์ ถูกควบคุมที่อุปกรณ์หนึ่งวงจอร์เตอร์หนึ่ง	40
รูปที่ 6.2	แสดงระบบควบคุมซึ่งมีวงจรควบคุมชนิด PI และมีอุปกรณ์ ควบคุมชนิดอินทิเกรท	41
รูปที่ 6.3	แสดงคุณสมบัติในโดเมนของความถี่ของสมการ (6.15)	43
รูปที่ 6.4	แสดงระบบซึ่งมีอุปกรณ์ถูกควบคุมที่อุปกรณ์อินทิเกรท และอุปกรณ์หนึ่งวงจอร์เตอร์หนึ่งขนาดเล็ก	44
รูปที่ 6.5	แสดงการตอบสนองในทันทีทันใดของระบบซึ่งถูกกำหนด ให้ทำงานดีที่สุดในวิธีหิมเมตริกอล ออปติมัม	45
รูปที่ 6.6	แสดงระบบซึ่งมีอุปกรณ์ถูกควบคุมที่อุปกรณ์หนึ่งวงจอร์เตอร์ หนึ่งขนาดใหญ่และอุปกรณ์หนึ่งวงจอร์เตอร์หนึ่งขนาดเล็ก	46
รูปที่ 6.7	แสดงระบบควบคุมในรูปที่ 6.6 เมื่อพิจารณาเฉพาะผลจากไหลด	49
รูปที่ 6.8	แสดงการตอบสนองของระบบควบคุมในรูปที่ 6.7 ซึ่งได้รับ ไหลดในทันทีทันใดเมื่อความสัมพันธ์ระหว่าง T_1 และ T_2 ต่าง ๆ กัน	49
รูปที่ 6.9	แสดงวงจรควบคุมชนิด PI	50
รูปที่ 6.10	แสดงบล็อกไดอะแกรมของวงจรควบคุมชนิด PI	51
รูปที่ 6.11	แสดงคุณสมบัติการจำกัดศักดาไฟฟ้าควบคุมของวงจรจำกัด กระแสไฟฟ้า	51
รูปที่ 6.12	แสดงความสัมพันธ์ของศักดาไฟฟ้าควบคุมกับมุมกระตุ้นของ วงจรสร้างสัญญาณกระตุ้น	51
รูปที่ 6.13	แสดงคุณสมบัติของวงจรจำกัดศักดาไฟฟ้าควบคุมของวงจร จำกัดมุมกระตุ้น	51
รูปที่ 6.14	แสดงวงจรจำกัดปริมาณซึ่งให้จำกัดกระแสไฟฟ้าและจำกัด	51

ความเร็วรอบ

		51
รูปที่ 6.15	แสดงบล็อกไดอะแกรมของระบบควบคุมความเร็วรอบมอเตอร์ไฟฟ้ากระแสตรง	52
รูปที่ 7.1	แสดงการตอบสนองของระบบควบคุมกระแสไฟฟ้าตรงไหลเข้าวงจรรออาร์เมเจอร์ เมื่อได้รับคำสั่งในทันทีทันใดและโรเตอร์ของมอเตอร์ถูกล๊อคไว้	54
รูปที่ 7.2	แสดงความเร็วรอบมอเตอร์ในกราฟรูปบนและแสดงกระแสไฟฟ้าตรงไหลเข้าวงจรรออาร์เมเจอร์ในกราฟรูปล่างเมื่อระบบควบคุมความเร็วรอบได้รับคำสั่งในทันทีทันใด	56
รูปที่ 7.3	แสดงความเร็วรอบมอเตอร์ในกราฟรูปบนและแสดงปริมาณไหลตในกราฟรูปล่าง เมื่อระบบควบคุมได้รับไหลตในทันทีทันใด	57
รูปที่ 7.4	แสดงมุมทริก และที่มอเตอร์ไม่มีไหลตและขณะที่มีไหลต	59



Part List

Resistance(ohms W)			Capacitance(F V)			Diode	
R ₁	33	2	C ₁	0.1μ	630	D ₁	1N 4148
R ₂	33	2	C ₂	0.1μ	630	D ₂	LED
R ₃	2.2k	1/4	C ₃	22μ	25	D ₃	88C10
R ₄	1.0k	1/4	C ₄	0.1μ	63	D ₄	LED
R ₅	5.6k	1/4	C ₅	22μ	25	D ₅	1N 4148
R ₆	820k	1/4	C ₆	0.1μ	63	D ₆	88C7V5
R ₇	560k	1/4	C ₇	3.3μ	25	D ₇	1N 4148
R ₈	270	1/4	C ₈	47μ	25	D ₈	1N 4148
R ₉	33	1/4	C ₉	0.1μ	63	D ₉	1N 4148
R ₁₀	560	1/4	C ₁₀	22μ	63	D ₁₀	1N 4148
R ₁₁	68k	1/4	C ₁₁	0.022μ	630	D ₁₁	1N 4148
R ₁₂	68k	1/4	C ₁₂	0.33μ	63	D ₁₂	1N 4148
R ₁₃	-		C ₁₃	4.7μ	63	D ₁₃	1N 4148
R ₁₄	22k	1/4	C ₁₄	0.68μ	50	D ₁₄	1N 4148
R ₁₅	18k	1/4	C ₁₅	0.01μ	100	D ₁₅	1N 4148
R ₁₆	820k	1/4	C ₁₆	0.1μ	63	D ₁₆	1N 4148
R ₁₇	3.3k	1/4	C ₁₇	0.22μ	63	D ₁₇	1N 4148
R ₁₈	1k	1/4	C ₁₈	0.1μ	63	D ₁₈	1N 4148
R ₁₉	1k	1/4	C ₁₉	47μ	25	D ₁₉	BY 255
R ₂₀	27k	1/4	C ₂₀	330μ	50	D ₂₀	BY 255
R ₂₁	33k	1/4	C ₂₁	K1K	103	D ₂₁	BY 255
R ₂₂	33k	1/4	C ₂₂	K1K	103	D ₂₂	BY 255
R ₂₃	10k	1/4	C ₂₃	4.7n	-	D ₂₃	BZX61C12
R ₂₄	22k	1/4	C ₂₄	10μ	63	D ₂₄	BZX61C12

เอกสารนี้เป็นเอกสารที่สงวนไว้สำหรับการใช้งานเพื่อการศึกษาเท่านั้น ไม่นอนุญาตให้นำไปใช้ประโยชน์ด้านการค้า
ไม่ว่ากรณีใดๆ ทั้งสิ้น อีกทั้งห้ามมิให้ดัดแปลงเนื้อหา และต้องอ้างอิงถึงเจ้าของเอกสารทุกครั้งที่มีการนำไปใช้

R ₂₅	10k	1/4	C ₂₅	4.7n	-	D ₂₅	1N 4148
R ₂₆	1M	1/2	C ₂₆	1μ	50	D ₂₆	1N 4148
R ₂₇	10k	1/4	C ₂₇	100n	-	D ₂₇	1N 4148
R ₂₈	82k	1/4				D ₂₈	BZY88C6V8
R ₂₉	55k	1/4	Transistor			IC	
R ₃₀	1k	1/4	TR1	BD 437		IC1	LM348
R ₃₁	10k	1/4	TR2	9013		IC2	LM348
R ₃₂	22k	1/4	TR3	9013		VDR	
R ₃₃	10k	1/4	TR4	9013		VDR1	Z21L 821
R ₃₄	12k	1/4	BR	REC		VDR2	S20K 460
R ₃₅	1.2k	1/4	REC1	SKB 1.2/04			
R ₃₆	10k	1/4	REC2	SKB 1.2/04			
R ₃₇	470	1/2					
R ₃₈	560k	1				R ₅₇	150 2
R ₃₉	820k	1/2	R ₅₀	820	1/4	R ₅₈	10k 1/4
R ₄₀	820k	1/2	R ₅₁	2.2k	1/4	R ₅₉	220k 1/2
R ₄₁	33k	1/4	R ₅₂	4.7k	1/4	R ₆₀	47 1/2
R ₄₂	33k	1/4	R ₅₃	82k	1/4	R ₆₁	60 1/2
R ₄₃	33k	1/4	R ₅₄	150k	1/4	R ₆₂	100 1/2
R ₄₄	33k	1/4	R ₅₅	1.5k	1/4	R ₆₃	-
R ₄₅	10k	1/4	R ₅₆	150	2	R ₆₄	4.7k 1/4
R ₄₆	22k	1/4				R ₆₅	2.2k 1/4
R ₄₇	82k	1/4				R ₆₆	2.2k 1/4
R ₄₈	10k	1/4					
R ₄₉	10k	1/4					

เอกสารนี้เป็นเอกสารที่สงวนไว้สำหรับการใช้งานเพื่อการศึกษาเท่านั้น ไม่นอญญาติให้นำไปใช้ประโยชน์ด้านการค้า
 "ไม่ว่ากรณีใดๆ ทั้งสิ้น อีกทั้งห้ามมิให้ดัดแปลงเนื้อหา และต้องอ้างอิงถึงเจ้าของเอกสารทุกครั้งที่มีการนำไปใช้"

สัญลักษณ์

e_u	: คัทตาไฟฟ้าย้อนกลับของมอเตอร์
i	: กระแสไฟฟ้า
i_u	: กระแสไฟฟ้าไหลเข้าวงจรรอมาเจอร์ของมอเตอร์
i_r	: กระแสไฟฟ้าไหลเข้าวงจรสรางสนามแม่เหล็กของมอเตอร์
i_g	: กระแสไฟฟ้าไหลเข้าขาเกทของ SCR
i_o	: กระแสไฟฟ้าที่ไหลออกจากวงจรรีเลย์ทรอนิคส์กำลัง
i_w	: กระแสไฟฟ้ามิกนิตาซิงค์
m	: อัตราส่วนระหว่าง v_u กับ $\sqrt{2} v ; \sin \alpha$
n	: ความเร็วรอบ
t	: เวลา
t_d	: ค่าลิ่งบิตที่มอเตอร์สร้างขึ้น
t_L	: ค่าลิ่งบิตที่โหลดต้องการ
t_{off}	: ค่าเวลาที่ใช้ในการหยุดทำงานของ SCR (Turn-off Time)
t_{on}	: ค่าเวลาคงที่ของวงจรรองสัญญาณความถี่ต่ำผ่าน
v	: คัทตาไฟฟ้าที่ขั้วอาร์มาเจอร์ของมอเตอร์
v	: คัทตาไฟฟ้า
v_H	: คัทตาไฟฟ้าที่ขั้วเบสของทรานซิสเตอร์
$v_u(t)$: คัทตาไฟฟ้าควบคุม
v_r	: คัทตาไฟฟ้าที่ขั้ววงจรสรางสนามแม่เหล็กของมอเตอร์
$v_{(n)}$: คัทตาไฟฟ้าที่จุด n เทียบกับจุด GND
$V_{(n1)} - V_{(n2)}$: คัทตาไฟฟ้าเปรียบเทียบระหว่างจุด n_1 กับจุด n_2
V_o	: คัทตาไฟฟ้าที่ทางออกของวงจรรีเลย์ทรอนิคส์กำลัง
A	: พื้นที่หน้าตัดของแกนเหล็ก
A_H	: ค่าคงที่

เอกสารนี้เป็นเอกสารที่สงวนไว้สำหรับการใช้งานเพื่อการศึกษาเท่านั้น ไม่นอนุญาตให้นำไปใช้ประโยชน์ด้านการค้า
ไม่ว่ากรณีใดๆ ทั้งสิ้น อีกทั้งห้ามมิให้ดัดแปลงเนื้อหา และต้องอ้างอิงถึงเจ้าของเอกสารทุกครั้งที่มีการนำไปใช้

- A_R : ค่าอัตราขยายของวงจรถ้าวมุม
 B : ค่าความหนาแน่นของเส้นแรงสนามแม่เหล็ก
 C : คาปาซิเตอร์
 D : ไดโอด
 E_m : ศักดาไฟฟ้าเฉลี่ยย้อนกลับของมอเตอร์
 $E_u(s)$: ศักดาไฟฟ้าย้อนกลับของมอเตอร์ในโดเมน s
 $E(s)$: ค่าความผิดพลาดในโดเมน s
 GND : จุดกราวด์
 H : ค่าความเข้มสนามแม่เหล็ก
 I : กระแสไฟฟ้าเฉลี่ย
 I_m : กระแสไฟฟ้าไหลเข้าวงจรรอมาเจอร์
 $I_u(s)$: กระแสไฟฟ้าไหลเข้าวงจรรอมาเจอร์ในโดเมน s
 I_{uc} : กระแสไฟฟ้าเฉลี่ยที่ได้จากวงจรวัดกระแสไฟฟ้าไหลเข้าวงจรรอมาเจอร์
 I_o : กระแสไฟฟ้าเฉลี่ยออกจากวงจรอิเล็กทรอนิกส์กำลัง
 J : โมเมนต์อินเนิเซียของมอเตอร์
 K_1, K_2 : ค่าคงที่ของมอเตอร์
 K_{sc} : ค่าคงที่ของระบบวัดกระแสไฟฟ้า
 K_r : ค่าคงที่ของระบบวัดความเร็วรอบ
 L : อินดักเตอร์
 L_m : ค่าอินดักเตอร์ภายในวงจรรอมาเจอร์ของมอเตอร์
 L_d : ค่าอินดักเตอร์ใช้สำหรับกรองกระแสไฟฟ้า
 N : ความเร็วรอบเฉลี่ยของมอเตอร์
 $N(s)$: ความเร็วรอบในโดเมน s
 Q : SCR
 R : ความต้านทาน

เอกสารนี้เป็นเอกสารที่สงวนไว้สำหรับการใช้งานเพื่อการศึกษาเท่านั้น ไม่อนุญาตให้นำไปใช้ประโยชน์ด้านการค้า
ไม่ว่ากรณีใดๆ ทั้งสิ้น อีกทั้งห้ามมิให้ดัดแปลงเนื้อหา และต้องอ้างอิงถึงเจ้าของเอกสารทุกครั้งที่มีการนำไปใช้

- R_a : ความต้านทานภายในวงจรอาร์มาเจอร์
 R_{ac} : ความต้านทานซึ่งใช้ประกอบในการวัดกระแสไฟฟ้าตรงไหลเข้า
 วงจรอาร์มาเจอร์
 T : หม้อแปลงคิกตาไฟฟ้าสลับ
 T_a : ค่าเวลาคงที่ทางไฟฟ้าภายในวงจรอาร์มาเจอร์
 T_{at} : ค่าเวลาคงที่ทางไฟฟ้าภายในวงจรอาร์มาเจอร์ร่วมกับ
 อินดักเตอร์สำหรับกรองกระแสไฟฟ้า
 T_b : กำลังบิดเฉลี่ยที่มอเตอร์สร้างขึ้น
 $T_b(s)$: กำลังบิดเฉลี่ยที่มอเตอร์สร้างขึ้นในโดเมน s
 T_L : กำลังบิดเฉลี่ยที่โหลดต้องการ
 $T_L(s)$: กำลังบิดเฉลี่ยที่โหลดต้องการในโดเมน s
 T_m : ค่าเวลาคงที่ในเชิงกล
 T_{nr} : ค่าเวลาคงที่รีเซ็ต (Reset Time Constant)
 T_{tr} : ทรานซิสเตอร์
 T_{tr} : ค่าเวลาคงที่ของวงจรอิเล็กทรอนิกส์กำลัง
 U : คิกตาไฟฟ้าเฉลี่ยที่ขั้วอาร์มาเจอร์ของมอเตอร์
 $U(s)$: คิกตาไฟฟ้าเฉลี่ยที่ขั้วอาร์มาเจอร์ของมอเตอร์ในโดเมน s
 V : คิกตาไฟฟ้าเฉลี่ย
 V_{ac} : คิกตาไฟฟ้าเฉลี่ยที่ได้จากวงจรวัดกระแสไฟฟ้าไหลเข้าวงจร
 อาร์มาเจอร์
 $V_{ac}(s)$: คิกตาไฟฟ้าที่ได้จากวงจรวัดกระแสไฟฟ้าไหลเข้าวงจร
 อาร์มาเจอร์ในโดเมน s
 V_c : คิกตาไฟฟ้าตรงซึ่งทำหน้าที่ในโหลด
 V_c : ค่าคงที่ของคิกตาไฟฟ้าควบคุม
 $V_c(s)$: คิกตาไฟฟ้าควบคุมในโดเมน s
 V_o : คิกตาไฟฟ้าเฉลี่ยที่ทางออกของวงจรอิเล็กทรอนิกส์กำลัง



- V_s : แหล่งจ่ายศักดาไฟฟ้าตรง
- V_T : ศักดาไฟฟ้าได้จากวงจรวัดความเร็วรอบ
- $V_T(s)$: ศักดาไฟฟ้าได้จากวงจรวัดความเร็วรอบในโดเมน s
- W : จำนวนรอบการผันขลวดของหม้อแปลงศักดาไฟฟ้า
- W : ตัวแปรคำสั่ง
- $W(s)$: ตัวแปรคำสั่งในโดเมน s
- X : ตัวแปรที่ต้องการ
- $X(s)$: ตัวแปรที่ต้องการในโดเมน s
- Z : อิมพีแดนซ์ของโหลด
- $Z(s)$: ตัวแปรของโหลดในโดเมน s
- Z_{step} : ค่าคงที่ตัวแปรของโหลดในทันทีทันใด
- α : มุมกระตุ้น
- δ : ระยะมุมซึ่ง SCR ทำงาน
- e : แรงเคลื่อนแม่เหล็กไฟฟ้า
- ϕ : มุมของอิมพีแดนซ์ของโหลด
- ϕ : ปริมาณเส้นแรงแม่เหล็กภายในมอเตอร์
- ω : ระยะห่างของแกน EI
- μ_0 : ค่าเพอร์มิอานิตีของอากาศ
- μ_r : ค่าเพอร์มิอานิตีสัมพัทธ์ของแกนเหล็ก
- v : ความเร็วเชิงมุม

บทที่ 1

บทนำ

ในปัจจุบันระบบขับเคลื่อนทางไฟฟ้า เป็นหัวใจสำคัญของโรงงานอุตสาหกรรม ซึ่งสามารถแยกประเภทตามชนิดของมอเตอร์ที่ใช้เป็นต้นกำลังได้คือ ระบบที่ใช้มอเตอร์ไฟฟ้ากระแสสลับเป็นต้นกำลัง และระบบที่ใช้มอเตอร์กระแสตรงเป็นต้นกำลัง ข้อดีของการใช้มอเตอร์กระแสตรงคือ การควบคุมความเร็วรอบทำได้ในช่วงกว้าง มีความเที่ยงตรงและประสิทธิภาพสูง วงจรควบคุมไม่ซับซ้อนราคาถูก การควบคุมทำได้โดยปรับศักดาคร่อมอาร์มาเจอร์ และกระแสฟลักซ์ แต่มีข้อเสียคือ ต้องมีอุปกรณ์แปลงกระแสไฟฟ้าสลับเป็นกระแสตรง ค่าใช้จ่ายในการบำรุงรักษาสูงเนื่องจากมีคอมมิวเตเตอร์ อัตราส่วนกำลังงานต่อน้ำหนักเครื่องอยู่ในเกณฑ์ค่อนข้างต่ำ และจะมีความเร็วรอบจำกัดอยู่ค่าหนึ่ง สำหรับมอเตอร์ไฟฟ้ากระแสสลับนั้นจะมีราคาเครื่องถูกกว่าเมื่อคิดที่กำลังงานเท่ากัน อัตราส่วนของกำลังงานต่อน้ำหนักเครื่องประมาณ 2 เท่า ค่าบำรุงรักษาจะต่ำเนื่องจากไม่มีคอมมิวเตเตอร์ แต่มีข้อเสียคือการควบคุมความเร็วรอบทำได้ในช่วงแคบ ความเที่ยงตรงและประสิทธิภาพค่อนข้างต่ำ วงจรควบคุมยุ่งยากซับซ้อนและมีราคาแพง ดังนั้นเมื่อต้องการระบบขับเคลื่อนที่มีความแม่นยำและประสิทธิภาพในการทำงานสูง ใช้งานที่กำลังงานไม่มากนัก มอเตอร์ไฟฟ้ากระแสตรงจะได้รับความนิยมสูงกว่า โดยเฉพาะมอเตอร์กระแสตรงชนิดกระตุ้นแยก ทั้งนี้เพราะการควบคุมศักดาไฟฟ้าที่ขั้วอาร์มาเจอร์ และการควบคุมปริมาณเส้นแรงแม่เหล็ก (Flux) ภายในมอเตอร์ สามารถแยกการควบคุมเป็นอิสระต่อกัน ซึ่งทำให้มอเตอร์ชนิดนี้ง่ายต่อการควบคุม

ปริศยานิพนธ์ฉบับนี้จะอธิบายถึง การออกแบบ การสร้าง และการทดลองระบบควบคุมความเร็วรอบมอเตอร์ไฟฟ้ากระแสตรงชนิดกระตุ้นแยก โดยใช้อุปกรณ์อิเล็กทรอนิกส์กำลังชนิด SCR (Silicon Controlled Rectifier) ต่อเป็นวงจรแปลงกระแสแบบควบคุมได้ครึ่งหนึ่งชนิดเฟสเดียว (single phase half controlled) ทำหน้าที่จ่ายกำลังให้กับมอเตอร์ และมีระบบควบคุมชนิดคาสเคด (cascade control) ทำหน้าที่ควบคุมความเร็วรอบ ในระบบควบคุมชนิดคาสเคดจะประกอบด้วยลูฟควบคุมสองลูฟคือ ลูฟควบคุมกระแสไฟฟ้าตรงไหลเข้าวงจรอาร์มาเจอร์ของมอเตอร์เป็นลูฟควบคุมภายใน

ใน ลูฟนี้ มีหน้าที่ควบคุมการทำงานของวงจรวีเล็คทรอนิคส์กำลัง และควบคุมมิให้กระแสไฟฟ้าไหลเข้าวงจรรออาร์มาเจอร์เกินพิกัด การวัดกระแสไฟฟ้าในระบบควบคุมนี้ใช้หม้อแปลงไฟฟ้ากระแสตรง (DC current transformer) วัดกระแสไฟฟ้าที่ไหลเข้าวงจรรออาร์มาเจอร์โดยตรง แล้วป้อนกลับเข้าสู่วงจรวัด ลูฟควบคุมอีกลูฟหนึ่ง เป็นลูฟควบคุมการทำงานของลูฟแรก และควบคุมความเร็วรอบของมอเตอร์ ลูฟนี้ใช้วงจรรายความแตกต่างของคักดา (differential amplifier circuit) ที่ป้อนให้วงจรรออาร์มาเจอร์ และทาโคเจนเนอเรเตอร์ (tacogenerator) เป็นตัวป้อนกลับให้วงจรวัด ลูฟควบคุมของทั้งสองลูฟจะใช้วงจรวัดความถี่ของสัญญาณ PI และวงจรวัดความถี่จะถูกปรับแต่ง เพื่อให้ระบบทำงานได้ดีที่สุด (Optimization) โดยลูฟแรกจะใช้วิธีมอดุลัสออปติมัม (Modulus optimum) และอีกลูฟหนึ่งจะใช้วิธีซิมเมตริกอลออปติมัม (Symmetrical optimum) รายละเอียดและผลการลองจะอธิบายในบทต่อไป

ข้อดีของระบบควบคุมความเร็วรอบชนิดนี้ เมื่อเปรียบเทียบกับระบบควบคุมแบบเดิมคือ

- 1) ผลตอบสนองต่อการทำงานรวดเร็ว
- 2) มีเสถียรภาพและความเที่ยงตรงสูง
- 3) มีประสิทธิภาพสูง
- 4) ค่าใช้จ่ายในการลงทุน และการบำรุงรักษาต่ำ
- 5) มีขนาดเล็ก

เนื้อหาของปริศยานิพนธ์ฉบับนี้แบ่งออกเป็น ๘ บท ซึ่งในแต่ละบทมีเนื้อหาสาระดังนี้

บทที่ 2 อธิบายถึงวัตถุประสงค์และแนวคิดของการทำปริศยานิพนธ์

บทที่ 3 อธิบายถึงวงจรวีเล็คทรอนิคส์กำลังที่ใช้ขับมอเตอร์ โดยอธิบายถึงวงจรรำกำลัง (power circuit) และวงจรรกระตุ้น (Trigger circuit) ซึ่งวงจรรทั้งสองนี้ถูกรวมเรียกว่า วงจรวีเล็คทรอนิคส์กำลัง นอกจากนี้ยังอธิบายถึงบล็อกไดอาแกรม (Block diagram) และทรานเฟอร์ฟังก์ชัน (Transfer function) ของวงจรรนี้ด้วย

บทที่ 4 อธิบายถึงไดอาแกรมอย่างง่ายของมอเตอร์ไฟฟ้ากระแสตรงชนิดกระตุ้นแยก สมการความเร็วรอบของมอเตอร์ และสาเหตุที่ต้องมีระบบควบคุม นอกจากนี้จะอธิบายถึงบล็อกไดอาแกรมและทรานเฟอร์ฟังก์ชันของมอเตอร์

บทที่ 5 อธิบายถึงอุปกรณ์วัด วิธีวัด บล็อกไดอแกรม และทรานเฟอร์ฟังก์ชันของอุปกรณ์วัดกระแสไฟฟ้าตรงไหลเข้าวงจรอาร์มาเจอร์ และอุปกรณ์วัดความเร็วรอบของมอเตอร์

บทที่ 6 อธิบายถึงคุณสมบัติของระบบควบคุมซึ่งมีวงจรถวลชนิด PI การออกแบบวงจรถวลให้ระบบควบคุมมีคุณสมบัติในการทำงานที่ดีที่สุด การสร้างวงจรถวลชนิด PI และแสดงบล็อกไดอแกรม และทรานเฟอร์ฟังก์ชันของวงจรถวลนี้ นอกจากนี้ยังอธิบายถึงวงจรถวลจำกัดปริมาณ (Amplitude Limiter Circuit) ซึ่งจะใช้จำกัดปริมาณสัญญาณควบคุมของระบบนี้เพื่อมิให้ระบบทำงานเกินขีด

บทที่ 7 อธิบายถึงวิธีการทดลอง ผลการทดลอง

บทที่ 8 เป็นการสรุปผลการทดลองของปริิญาานิพนธ์ทั้งหมด



บทที่ 2

วัตถุประสงค์และแนวความคิดในการทำปริญญานิพนธ์

2.1 บทนำ

ในบทที่ 2 นี้จะอธิบายถึงวัตถุประสงค์ของการทำปริญญานิพนธ์ และอธิบายถึงแนวความคิดในการทำปริญญานิพนธ์ฉบับนี้ เพื่อเป็นพื้นฐานประกอบก่อนที่จะทำความเข้าใจเกี่ยวกับเนื้อหารายละเอียด ของระบบควบคุมความเร็วรอบมอเตอร์ไฟฟ้ากระแสตรงที่จะกล่าวถึงต่อไป

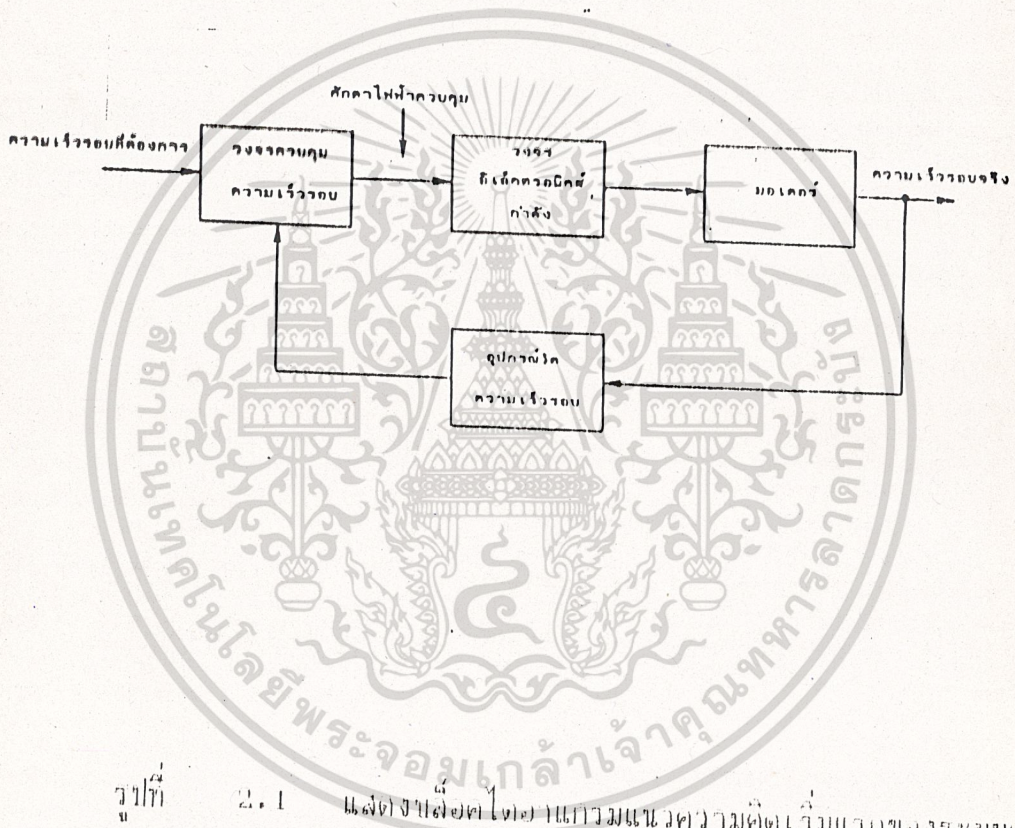
2.2 วัตถุประสงค์ของการทำปริญญานิพนธ์

ในปัจจุบัน เทคโนโลยีเกี่ยวกับระบบควบคุมความเร็วรอบมอเตอร์ไฟฟ้ากระแสตรง ซึ่งใช้วงจรรีเลย์ไครอโรนิคส์กำลังทำหน้าที่จ่ายกำลังให้กับมอเตอร์ได้รับการแพร่หลายในประเทศที่ได้รับการพัฒนาแล้ว แต่ทว่าในประเทศไทย เทคโนโลยีเกี่ยวกับสาขานี้ยังไม่แพร่หลายเท่าที่ควร ปกติระบบควบคุมชนิดนี้ส่วนมากจะถูกสั่งเข้ามาโดยตรงจากต่างประเทศ และถ้าเป็นระบบที่มีขนาดใหญ่ การติดตั้งและการปรับแต่ง บริษัทผู้ผลิตก็จะส่งวิศวกรของบริษัทเข้ามาปฏิบัติงานโดยตรง ดังนั้นการพัฒนาเทคโนโลยีสาขานี้จึงไม่พัฒนาเท่าที่ควร เมื่อเป็นเช่นนี้ปริญญานิพนธ์ฉบับนี้จึงได้เสนอวิธีการออกแบบ และการสร้างระบบควบคุมความเร็วรอบมอเตอร์ไฟฟ้ากระแสตรง ซึ่งใช้วงจรรีเลย์ไครอโรนิคส์กำลังทำหน้าที่จ่ายกำลังให้มอเตอร์ โดยพยายามใช้อุปกรณ์ที่หาได้ภายในประเทศ เพื่อสร้างระบบควบคุมชนิดนี้ขึ้นมาให้สามารถนำไปใช้งานได้จริงและมีความเชื่อถือสูง ทั้งนี้เพื่อกระตุ้นให้เกิดการพัฒนาเทคโนโลยีสาขานี้ให้ก้าวหน้าขึ้น และเป็นการส่งเสริมให้มีการนำเอาระบบควบคุมชนิดนี้ไปใช้ให้เป็นประโยชน์แพร่หลายมากขึ้น

2.3 แนวความคิดในการทำปริญญานิพนธ์

เนื่องจากความเร็วรอบของมอเตอร์ไฟฟ้ากระแสตรงชนิดกระตุ้นแยกสามารถควบคุมได้โดยควบคุมคัทตาไฟฟ้าตรงที่ป้อนเข้าวงจรรอาร์มาเจอร์ และเนื่องจากวงจรแปลงกระแสแบบควบคุมได้ครั้งหนึ่งชนิดเฟส มีคุณสมบัติที่สามารถควบคุมคัทตาไฟฟ้าตรงที่ทางออก (Output) ได้ ดังนั้นในปริญญานิพนธ์ฉบับนี้ จึงได้เสนอแนวความคิด และวิธีการใช้วงจรรีเลย์ไครอโรนิคส์กำลังชนิดนี้ มาสำหรับขับมอเตอร์โดยมีคัทตาไฟฟ้าควบคุม

(Controlled Voltage) ทำหน้าที่ควบคุมการทำงานของวงจรรีเลย์คทรอนิกส์กำลัง
 อีกขั้นหนึ่ง รูปที่ 2.1 แสดงบล็อกไดอะแกรมของแนวความคิดแรกเริ่มที่จะสร้างระบบ
 ควบคุมความเร็วรอบ โดยใช้วงจรควบคุมความเร็วรอบทำหน้าที่เปรียบเทียบกับความเร็ว
 รอบที่ต้องการกับความเร็วรอบจริง จากนั้นวงจรควบคุมจะสร้างศักดาไฟฟ้าควบคุม
 ควบคุมการทำงานของวงจรรีเลย์คทรอนิกส์กำลังอีกขั้นหนึ่ง



รูปที่ 2.1 แสดงบล็อกไดอะแกรมของแนวความคิดแรกเริ่มของระบบควบคุมความเร็วรอบมอเตอร์กระแสตรงชนิดกระตุ้นแยก

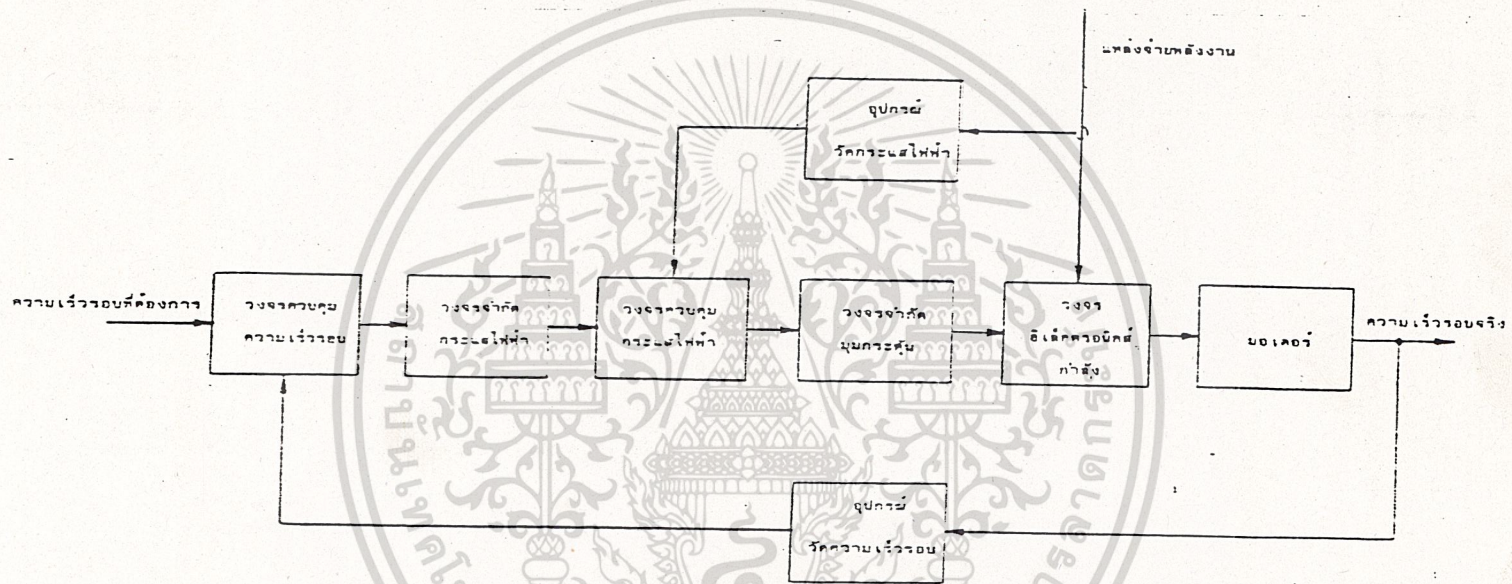
ระบบควบคุมดังแสดงในรูป 2.1 มีข้อจำกัดคือ เมื่อมอเตอร์ได้รับโหลดมากขึ้น
 กระแสไฟฟ้าตรงไหลเข้าวงจรอาร์มาเจอร์ก็จะเพิ่มมากขึ้น และความเร็วรอบของมอ
 ตอร์จะลดลง วงจรควบคุมจะทำหน้าที่ปรับศักดาไฟฟ้าควบคุมเพื่อให้วงจรรีเลย์คทรอนิกส์
 กำลังขับมอเตอร์ให้หมุนเร็วขึ้น จนกระทั่งมีความเร็วรอบที่ต้องการ จากแผนการทำ
 งานดังกล่าวแล้ว เมื่อมอเตอร์ได้รับโหลดเพิ่มมากขึ้นเรื่อยๆ วงจรควบคุมจะพยายามปรับ

เอกสารนี้เป็นเอกสารที่สงวนไว้สำหรับการใช้งานเพื่อการศึกษาเท่านั้น ไม่อนุญาตให้นำไปใช้ประโยชน์ด้านการค้า
 ไม่ว่ากรณีใดๆ ทั้งสิ้น อีกทั้งห้ามมิให้ดัดแปลงเนื้อหา และต้องอ้างอิงถึงเจ้าของเอกสารทุกครั้งที่มีการนำไปใช้

ความเร็วรอบให้ได้ความเร็วรอบที่ต้องการ โดยมีได้ควบคุมกระแสไฟฟ้าตรงไหลเข้า
 วงจรอาร์มาเจอร์ ดังนั้นระบบควบคุมดังกล่าวนี้ มอเตอร์อาจจะเสียหายได้เนื่องจากกระแส
 ไฟฟ้าตรงไหลเข้ามอเตอร์เกินพิกัด แต่ข้อจำกัดนี้สามารถหลีกเลี่ยงได้โดยเพิ่มวงจรจำกัด
 คัดดาไฟฟ้าควบคุม ก่อนที่จะไปควบคุมวงจรอิเล็กทรอนิกส์กำลังในระบบควบคุมความ
 เร็วรอบ ระบบนี้มีการทำงานคือ เมื่อกระแสไฟฟ้าตรงไหลเข้าวงจรอาร์มาเจอร์เกินพิกัด
 คัดดาไฟฟ้าควบคุมซึ่งควบคุมการทำงานของวงจรอิเล็กทรอนิกส์กำลังก็ถูกจำกัด ซึ่งมี
 ผลทำให้คัดดาไฟฟ้าทางออกของวงจรอิเล็กทรอนิกส์กำลังถูกจำกัดด้วย เมื่อคัดดาไฟฟ้า
 นี้ถูกจำกัด ความเร็วรอบของมอเตอร์ก็จะถูกจำกัดตามลงมา ดังนั้นการจำกัดกระแสไฟฟ้า
 ตรงด้วยวิธีการนี้จะไปจำกัดความเร็วรอบของมอเตอร์ด้วย เพื่อลดข้อบกพร่องนี้ ใน
 ปรวิญญาณินธ์ฉบับนี้จึงได้คิดให้ระบบควบคุมชนิดคาสเคด ดังแสดงในบล็อกไดอแกรมรูปที่
 2.2 มาประยุกต์ใช้งาน ระบบนี้มีการทำงานดังนี้คือ วงจรควบคุมความเร็วรอบจะเปรียบ
 เทียบความเร็วรอบที่ต้องการกับความเร็วรอบจริง จากนั้นวงจรควบคุมความเร็วรอบจะ
 ส่งคัดดาไฟฟ้าควบคุม เพื่อควบคุมระบบควบคุมกระแสไฟฟ้าตรงไหลเข้าวงจรอาร์มาเจอร์
 โดยที่ก่อนจะเข้าระบบควบคุมกระแสไฟฟ้านั้น จะต้องผ่านวงจรจำกัดกระแสไฟฟ้าก่อน
 วงจรนี้จะจำกัดคัดดาไฟฟ้าควบคุม ซึ่งได้จากวงจรควบคุมความเร็วรอบ เพื่อกันมิให้ระบบ
 ควบคุมกระแสไฟฟ้า บังคับให้กระแสไฟฟ้าไหลเข้าวงจรอาร์มาเจอร์เกินพิกัด เมื่อ
 วงจรควบคุมกระแสไฟฟ้า เปรียบเทียบคัดดาไฟฟ้าควบคุมนี้ กับกระแสไฟฟ้าที่ไหลจริงแล้ว
 ก็จะส่งคัดดาไฟฟ้าควบคุมผ่านวงจรจำกัดมุมกระตุ้น ซึ่งวงจรนี้จะจำกัดคัดดาไฟฟ้าตรงที่
 ทางออกของวงจรอิเล็กทรอนิกส์กำลัง เพื่อป้องกันมิให้มอเตอร์ได้รับคัดดาไฟฟ้าตรงเกิน
 พิกัด จากนั้นวงจรอิเล็กทรอนิกส์กำลังก็จะใช้วงจรคัดดาไฟฟ้าควบคุมนี้เพื่อขับมอเตอร์ต่อ
 ไป ระบบนี้จะมีการทำงานเมื่อมีไหลคือ เมื่อมอเตอร์ได้รับไหลมากขึ้น มอเตอร์จะ
 หมุนด้วยความเร็วลดลง ดังนั้นวงจรควบคุมความเร็วรอบก็ควบคุมวงจรควบคุมกระแสไฟ
 ฟ้าให้ขับมอเตอร์ให้หมุนด้วยความเร็วรอบตามต้องการ

ข้อดีของระบบควบคุมนี้คือ การจำกัดความเร็วรอบและกระแสไฟฟ้าตรงไหลเข้า
 วงจรอาร์มาเจอร์จะไม่เกี่ยวข้องกัน และระบบนี้สามารถควบคุมกระแสไฟฟ้าได้แม้ว่า
 แหล่งจ่ายพลังงานเข้าวงจรอิเล็กทรอนิกส์กำลังเปลี่ยนไป

เอกสารนี้เป็นเอกสารที่สงวนไว้สำหรับการใช้งานเพื่อการศึกษาเท่านั้น ไม่อนุญาตให้นำไปใช้ประโยชน์ด้านการค้า
 ไม่ว่ากรณีใดๆ ทั้งสิ้น อีกทั้งห้ามมิให้ดัดแปลงเนื้อหา และต้องอ้างอิงถึงเจ้าของเอกสารทุกครั้งที่มีการนำไปใช้



รูปที่ 2.2 แสดงบล็อกไดอะแกรมแนวความคิดของระบบควบคุมมอเตอร์ไฟฟ้ากระแสตรงชนิดกระตุ้นแยกที่ใช้ในการทำวิทยานิพนธ์

2.4 บทสรุป

จากวัตถุประสงค์และแนวความคิดในการทำปริญญานิพนธ์ที่ได้อธิบายไปแล้วนั้น ได้แสดงถึงโครงสร้างและส่วนประกอบของระบบควบคุมความเร็วรอบ ซึ่งในบทต่อไปนี้จะอธิบายถึงแต่ละส่วนของระบบนี้ และการนำแต่ละส่วนมาประกอบกัน เพื่อสร้างเป็นระบบควบคุมความเร็วรอบต่อไป



เอกสารนี้เป็นเอกสารที่สงวนไว้สำหรับการใช้งานเพื่อการศึกษาเท่านั้น ไม่อนุญาตให้นำไปใช้ประโยชน์ด้านการค้า
ไม่ว่ากรณีใดๆ ทั้งสิ้น อีกทั้งห้ามมิให้ดัดแปลงเนื้อหา และต้องอ้างอิงถึงเจ้าของเอกสารทุกครั้งที่มีการนำไปใช้

บทที่ 3

วงจรอิเล็กทรอนิกส์กำลัง (Power Electronic Circuit)

3.1 บทนำ

เนื้อหาของบทนี้จะอธิบายถึงวงจรอิเล็กทรอนิกส์กำลังที่ใช้ในการขับมอเตอร์ วงจรนี้จะแบ่งออกเป็นสองส่วนคือ ส่วนแรกเป็นวงจรกำลัง (power circuit) ซึ่งได้แก่วงจรแปลงกระแสไฟฟ้าแบบควบคุมได้ครึ่งหนึ่งชนิดหนึ่งเฟส และส่วนที่สองเป็นวงจรกระตุ้นซึ่งใช้กระตุ้นการทำงานของวงจรแรก เนื่องจากวงจรทั้งสองนี้จะทำงานร่วมกัน ฉะนั้น ในการออกแบบระบบควบคุมความเร็วรอบจึงใช้บล็อกไดอาแกรมและทรานเฟอร์ฟังก์ชันเพียงหนึ่งชุด เพื่อแทนวงจรทั้งสอง ในบทนี้จะอธิบายถึงบล็อกไดอาแกรมและทรานเฟอร์ฟังก์ชันดังกล่าวนี้ ตอนที่อธิบายถึงวิธีการออกแบบ และการสร้างหม้อแปลงสัญญาณพัลส์ (Pulse transformer) ซึ่งประกอบในวงจรกระตุ้น

3.2 วงจรกำลัง

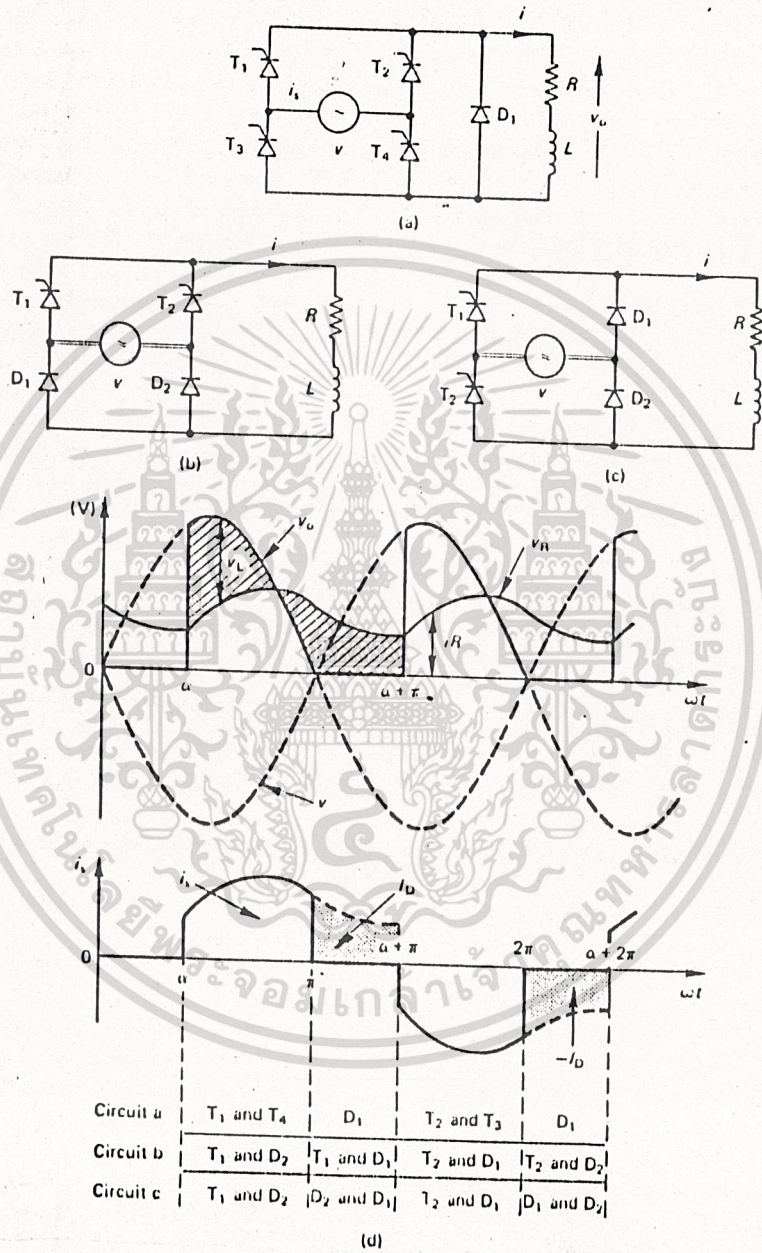
ในหัวข้อนี้จะอธิบายถึงวงจรกำลังที่ใช้ในการขับมอเตอร์ ซึ่งแผนผังวงจรนี้แสดงในรูป 3.1 ซึ่งแสดงรูปสัญญาณคลื่นที่ทางออก (Output wave form) ในรูปที่ 3.1d สัญญาณ v_o คือสัญญาณแสดงคิกตาไฟฟ้ที่ทางออกเมื่อกระตุ้นการทำงานของ SCR ด้วยมุม (α) v_m คือคิกตาไฟฟ้ที่ตกคร่อมอิมพีแดนซ์ (impedance) ของมอเตอร์ v คือคิกตาไฟฟ้ที่ป้อนให้กับวงจร i_m คือกระแสไฟฟ้ที่ไหลผ่าน SCR i_o คือกระแสไฟฟ้ที่ไหลผ่านไดโอด วงจรที่ใช้ทดลองในปริวิตยานินธ์ฉบับนี้คือวงจรในรูป c การทำงานของวงจรอิเล็กทรอนิกส์กำลัง เมื่อป้อนคิกตาไฟฟ้สลับให้กับวงจร ที่ครึ่งบวกของสัญญาณขณะที่กระตุ้น SCR ให้ทำงานด้วยมุม α SCR1 จะนำกระแส กระแสจะไหลผ่านมอเตอร์และไหลเข้า D2 และเมื่อถึงมุม π SCR1 จะหยุดนำกระแส กระแสจะไหลผ่าน D2 และ D1 ดังรูป จนกระทั่งที่มุม $(\pi + \alpha)$ SCR2 จะถูกกระตุ้นให้นำกระแสไหลผ่านมอเตอร์มาเข้า D1 ที่มุม 2π SCR2 จะหยุดนำกระแส กระแสจะไหลผ่าน D1 และมาเข้า D2 ดังรูป

จากรูป 3.1d จะได้คิกตาไฟฟ้เฉลี่ย (mean output voltage)

$$V_o = \frac{1}{\pi} \int_{\alpha}^{\pi} \sqrt{2} V \sin \omega t \quad (v)$$

$$= \frac{\sqrt{2}V}{\pi} (1 + \cos \alpha) \dots\dots (3.1)$$

โดยที่ α เป็นมุมทริก (trig)



รูปที่ 3.1 แสดงแผนผังของวงจรอิเล็กทรอนิกส์กำลังแบบควบคุมได้ครึ่งหนึ่งชนิดหนึ่ง เฟส คักตาไฟฟ้าอาร์เอ็มเอส (rms voltage) ที่เอาต์พุต คือ

เอกสารนี้เป็นเอกสารที่สงวนไว้สำหรับการใช้งานเพื่อการศึกษาเท่านั้น ไม่อนุญาตให้นำไปใช้ประโยชน์ด้านการค้า ไม่ว่ากรณีใดๆ ทั้งสิ้น อีกทั้งห้ามมิให้ดัดแปลงเนื้อหา และต้องอ้างอิงถึงเจ้าของเอกสารทุกครั้งที่มีการนำไปใช้

$$V_r = \sqrt{\left[\frac{1}{\pi} \int_0^{\pi} (\sqrt{2} \sin \omega t)^2 d\omega t \right]}$$

$$= V \sqrt{\frac{\pi - \alpha + (1/2) \sin 2\alpha}{\pi}} \dots\dots\dots (3.2)$$

สามารถหาค่าคักตาไฟฟ้ากระเพื่อม (ripple voltage)

$$V_{rL} = \Delta \sqrt{V_r^2 - V_o^2} \quad (v)$$

$$= 0.545 V \quad \dots\dots\dots (3.3)$$

และองค์ประกอบของคักตาไฟฟ้ากระเพื่อม (ripple voltage factor)

$$K_v = \Delta V_{rL} / V_o \quad \dots\dots\dots (3.4)$$

$$= 1.211$$

จะได้สมการกระแสที่ไหลจากแหล่งจ่ายกระแส

$$I_o = \frac{\sqrt{2}V}{Z} \sin(\omega t - \phi) + \left(I_{o2\pi} + \frac{\sqrt{2}V}{Z} \sin \phi \right) \exp(-\omega t) \tan \phi \quad (A)$$

โดยที่ $0 = \omega t = 2\pi$

$$I_{o2\pi} = \frac{\sqrt{2}V \sin \phi (1 - \exp(-\pi/\tan \phi))}{\exp(\pi/\tan \phi) - \exp(-\pi/\tan \phi) Z} \quad (A) \quad \dots\dots\dots (3.5)$$

ซึ่ง $Z = \sqrt{R^2 + (\omega L)^2}$ (ohm)

และ $\tan \phi = \omega L / R$

จะได้สมการของกระแสที่ไหลผ่านไดโอด

$$I_o = I_{Dr} = I_{o1\pi} \exp(-(\omega t - \pi)/\tan \phi) \quad (A) \quad \dots\dots\dots (3.6)$$

โดยที่ $\pi = \omega t = 2\pi$ (rad)

สำหรับ $I_{o1\pi} = I_{o2\pi} \exp(\pi/\tan \phi) \quad (A)$

3.3 ทราานเฟอร์ฟังก์ชันและบล็อกไดอาแกรมของวงจรอิเล็กทรอนิกส์กำลัง

ในการออกแบบระบบควบคุมต่างๆ เราจำเป็นต้องทราบทราานเฟอร์ฟังก์ชันของระบบนั้นๆก่อน

วงจรรีเลย์ทรอนิกส์กำลังเมื่อถูกกระตุ้นให้ทำงานแล้ว จะไม่สามารถควบคุมการทำงานได้จนกระทั่งถึงเวลาที่ถูกระตุ้นครั้งต่อไปจึงจะควบคุมได้ ดังนั้นวงจรรีเลย์ทรอนิกส์กำลังจึงมีคุณสมบัติที่เรียกว่าเป็น อุปกรณ์เดดไทม์ (Dead time component) ซึ่งอุปกรณ์ชนิดนี้มีสมการแสดงคุณสมบัติคือ

$$V_o(t) = V_c(t) A_{u1}(t - T_d) \dots \dots (3.6)$$

T_d เรียกว่าเวลาเดดไทม์ ซึ่งค่ามากที่สุดของวงจรรีเลย์ทรอนิกส์กำลังชนิดนี้คือ

$$T_d = \frac{\text{คาบเวลาของสัญญาณไฟฟ้าสลับที่ใช้}}{\text{จำนวนพัลส์ของกระแสไฟฟ้าในหนึ่งลูกคลื่นของตัวกคาไฟฟ้าสลับที่ใช้}}$$

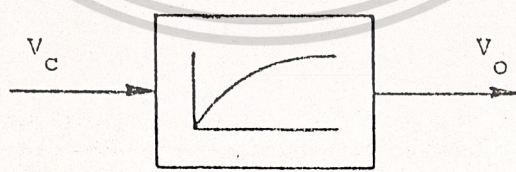
เนื่องจาก T_d มีค่าน้อยมาก เมื่อเทียบกับค่าเวลาคงที่ (Time constant) ของอุปกรณ์อื่น ๆ ในระบบควบคุมความเร็วรอบของมอเตอร์ ดังนั้นจึงสามารถแทนคุณสมบัติของวงจรรีเลย์ทรอนิกส์กำลัง ด้วยอุปกรณ์หน่วงเวลาอันดับหนึ่ง (First order delay element) ซึ่งมีความสัมพันธ์ระหว่างศักดาไฟฟ้าตรงที่หัวของวงจรรีเลย์ทรอนิกส์กำลังกับศักดาไฟฟ้าควบคุมชนิดเปลี่ยนแปลงทันทีทันใด (step controlled voltage) คือ

$$V_o(t) = V_c A_{u1} (1 - e^{-t/T}) \dots \dots (3.7)$$

หรือเขียนแทนด้วยสมการทราเนเฟอว์ฟังก์ชันได้เป็น

$$\frac{V_o(s)}{V_c(s)} = \frac{A_{u1}}{1 + sT} \dots \dots (3.8)$$

และสามารถแสดงบล็อกไดอแกรมได้ดังรูปที่ 3.2

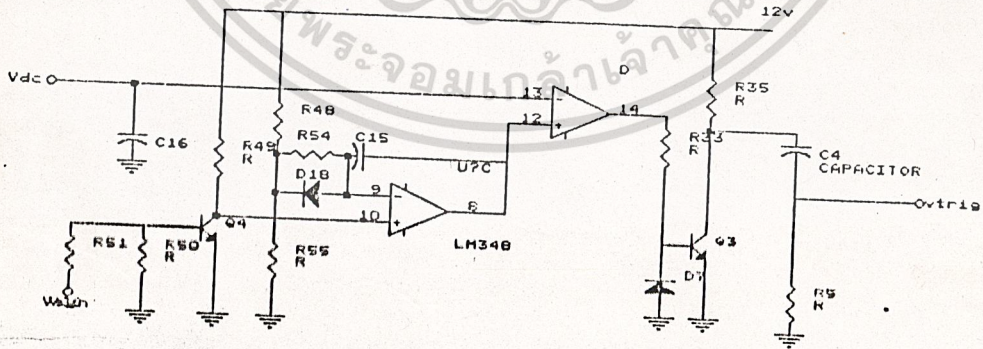


รูปที่ 3.2 แสดงบล็อกไดอแกรมของวงจรรีเลย์ทรอนิกส์กำลัง

3.4 วงจรกระตุ้น

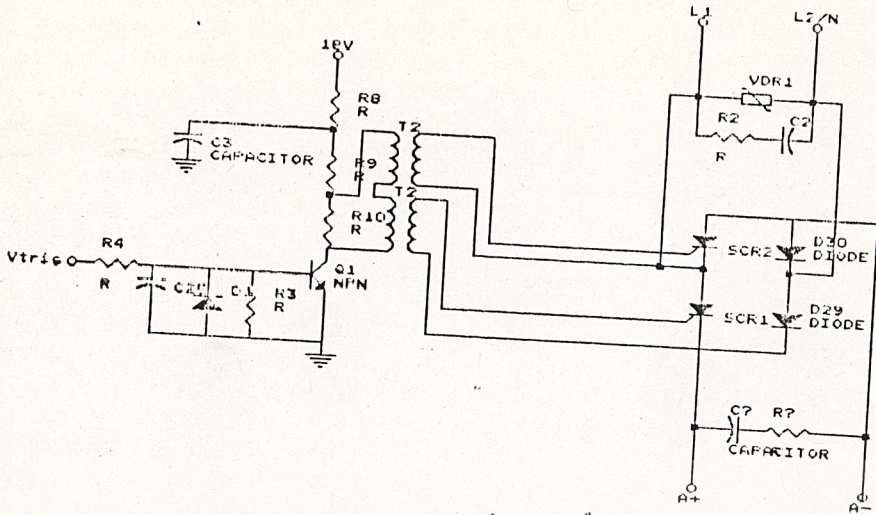
สัญญาณกระตุ้นและศักดาไฟฟ้าสลับที่จะถูกนำเข้ามาจากรันนั้น จะต้องกระทำให้มีพร้อมกันไป (Synchronize) ดังนั้นในวงจรกระตุ้นจะต้องมีส่วนซึ่งนำไฟฟ้าสลับเข้ามาจากรันเพื่อนำไปประกอบการสร้างเป็นสัญญาณกระตุ้นต่อไป แต่เนื่องจากศักดาไฟฟ้าสลับนี้มีความแรงต้นสูงจึงจำเป็นต้องมีหม้อแปลงศักดาไฟฟ้าเพื่อลดค่าศักดาไฟฟ้าสลับก่อน จากนั้นจึงให้ศักดาไฟฟ้าสลับนี้ผ่านวงจรกรองสัญญาณความถี่ต่ำผ่าน เพื่อลดสัญญาณรบกวนซึ่งอาจจะเข้ามาด้วยกัน สัญญาณที่ได้จะป้อนให้กับขาเบสของทรานซิสเตอร์ (TR4) แล้วป้อนให้กับขา (10) เพื่อนำไปสร้างเป็นสัญญาณแรมป์ (ramp signal) ซึ่งสัญญาณนี้จะออกมาที่ขา (8) และจะนำไปเปรียบเทียบกับสัญญาณศักดาไฟฟ้าตรง ที่ออกมาจากวงจรควบคุมความเร็วเพื่อสร้างสัญญาณพัลส์ที่ปรับความกว้าง (Duty Cycle) ได้ ออกมาที่ขา (14) เมื่อสัญญาณนี้ผ่าน (TR3) และ (C4) ซึ่งทำหน้าที่ (Coupling) เราก็จะได้สัญญาณกระตุ้นออกมาเข้าวงจรขยายสัญญาณกระตุ้นต่อไป

ถ้าวงจรสร้างสัญญาณกระตุ้นและวงจรกำลังต่อกันโดยตรงแล้ว จะมีปัญหาในการวัดระบบกราวด์ และปัญหาเนื่องจากวงจรสร้างสัญญาณกระตุ้นเสียหายเมื่อวงจรกำลังทำงานผิดปกติ ดังนั้นเราจึงส่งสัญญาณนี้ผ่านหม้อแปลงสัญญาณพัลส์ ซึ่งทำหน้าที่แยกระบบกราวด์ระหว่างวงจรกำลังกับวงจรสร้างสัญญาณกระตุ้น แล้วสัญญาณที่ผ่านหม้อแปลงนี้จะไปกระตุ้น SCR ต่อไป ดังรูป



รูปที่ 3.3 แสดงวงจรสร้างสัญญาณกระตุ้น

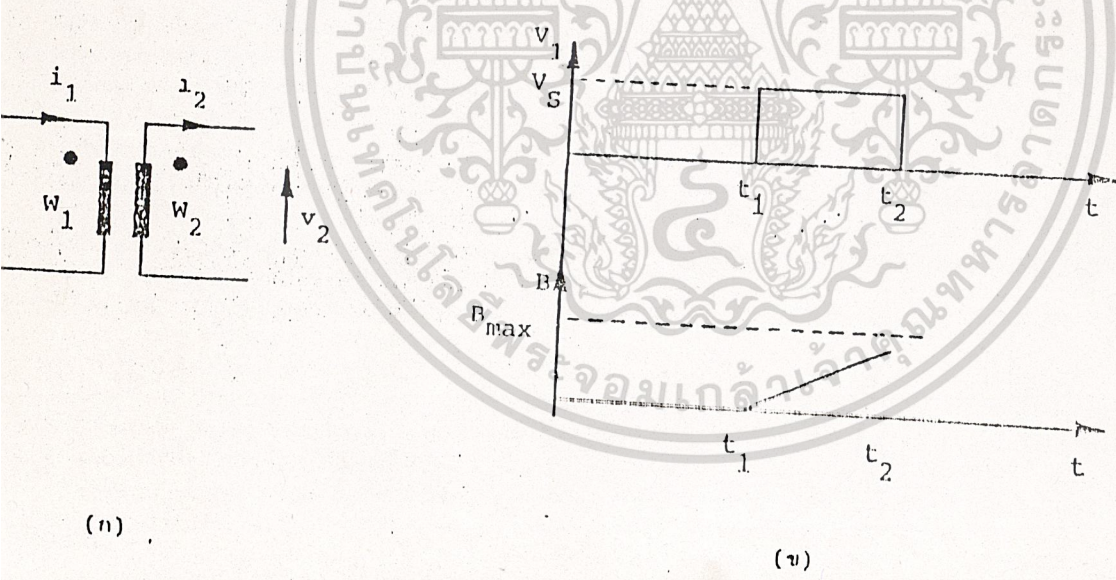
เอกสารนี้เป็นเอกสารที่สงวนไว้สำหรับการใช้งานเพื่อการศึกษาเท่านั้น ไม่นอนุญาตให้นำไปใช้ประโยชน์ด้านการค้าไม่ว่ากรณีใดๆ ทั้งสิ้น อีกทั้งห้ามมิให้ดัดแปลงเนื้อหา และต้องอ้างอิงถึงเจ้าของเอกสารทุกครั้งที่มีการนำไปใช้



รูปที่ 3.4 แสดงวงจรขยายสัญญาณกระตุ้น

3.5 การออกแบบและการสร้างหม้อแปลงสัญญาณกระตุ้น

หม้อแปลงสัญญาณกระตุ้นที่สร้างขึ้นจะมีลักษณะเดียวกับหม้อแปลงไฟฟ้าธรรมดา ดังแสดงในรูป 3.5 การคำนวณเริ่มต้นจากเงื่อนไขตั้งนี้คือ



(ก)

(ข)

รูปที่ 3.5

(ก) แสดงแ่งสังหม้อแปลงสัญญาณกระตุ้น (ข) แสดงรูปสัญญาณของสัญญาณกระตุ้น และ รูปสัญญาณของค่าความหนาแน่นของสนามแม่เหล็ก

เอกสารนี้เป็นเอกสารที่สงวนไว้สำหรับการใช้งานเพื่อการศึกษาเท่านั้น ไม่อนุญาตให้นำไปใช้ประโยชน์ด้านการค้า ไม่ว่าจะกรณีใดๆ ทั้งสิ้น อีกทั้งห้ามมิให้ดัดแปลงเนื้อหา และต้องอ้างอิงถึงเจ้าของเอกสารทุกครั้งที่มีการนำไปใช้

ขดลวด w_1 ไม่มีกระแสไฟฟ้าไหลผ่านมาก่อน และ t_1 เป็นเวลานาน ดังนั้น ความหนาแน่นของเส้นแรงแม่เหล็กภายในแกนหม้อแปลงจะเป็น

$$B = 0 \quad \dots\dots (3.9)$$

$$i_1 = 0, i_2 = 0, v_1 = 0, v_2 = 0$$

และถ้ากระแสไฟฟ้าแมกไทไนซิงค์ (Magnetising Current) มีค่าดังนี้คือ

$$i_m \ll i_1, i_2 \quad \dots\dots (3.10)$$

สามารถอนุมานได้ว่า

$$i_m = 0$$

เมื่อทรานซิสเตอร์ในวงจรขยายสัญญาณกระตุ้นทำงาน ตักดาไฟฟ้าที่ขดลวด w_1 จะเป็น

$$v_1 = v_m \quad \dots\dots (3.11)$$

$$v_1 = w_1 A \frac{dB}{dt} \quad \dots\dots (3.12)$$

ค่า A สามารถวัดได้และจากสมการ (3.12) จะได้สมการใหม่คือ

$$B = B_0 + \frac{v_m}{w_1 A} (t_2 - t_1) \quad \dots\dots (3.13)$$

ถ้า B_0 ในสมการ (3.13) สามารถทำให้หมดไปโดยการทำให้แกนลดสภาพการเป็นแม่เหล็ก (Demagnetizing) ซึ่งได้มีการกระทำเช่นนี้อยู่แล้วในวงจรขยายสัญญาณกระตุ้น ดังนั้นสมการ (3.13) สามารถเขียนใหม่ได้เป็น

$$B = \frac{v_m \Delta t}{w_1 A} \quad \dots\dots (3.14)$$

และสมการของจำนวนขดลวดทางปฐมภูมิ (Primary Winding) คือ

$$w_1 = \frac{v_m \Delta t}{BA} \quad \dots\dots (3.15)$$

ข้อสำคัญอย่างหนึ่งซึ่งต้องพิจารณาคือ เมื่อพิจารณารูปสัญญาณของสมการ (3.15) ดังในรูปที่ 3.5 ค่า B ของสมการนี้จะต้องไม่เกินค่า (B_{max}) มิฉะนั้นจะทำให้แกนของ

หม้อแปลงอิมิตัว ดังนั้นสมการการคำนวณจำนวนขดลวดทางทุติยภูมิคือ

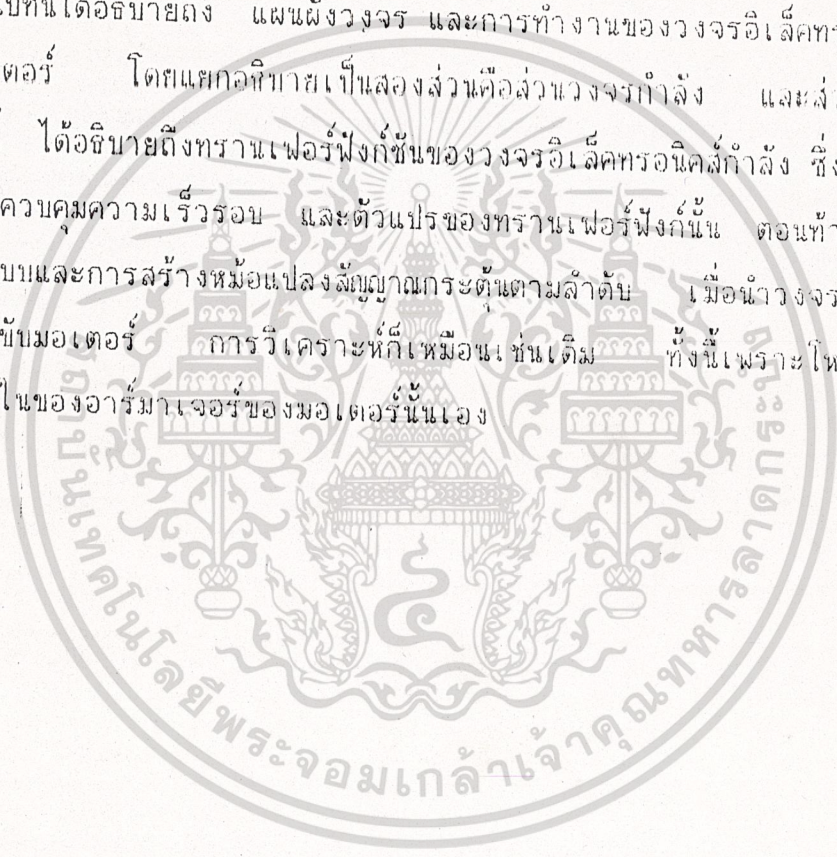
$$W_1 \geq \frac{V_1 \Delta t}{B_{max} A}$$

สมการจำนวนขดลวดทางทุติยภูมิคือ

$$W_2 = \frac{V_2}{V_1} W_1 \dots\dots\dots (3.16)$$

3.6 บทสรุป

ในบทนี้ได้อธิบายถึง แผนผังวงจร และการทำงานของวงจรอิเล็กทรอนิกส์กำลังซึ่งใช้กับมอเตอร์ โดยแยกอธิบายเป็นสองส่วนคือส่วนวงจรกำลัง และส่วนวงจรกรรไกร นอกจากนี้ ได้อธิบายถึงทรานเฟอร์ฟังก์ชันของวงจรอิเล็กทรอนิกส์กำลัง ซึ่งใช้ในการออกแบบระบบควบคุมความเร็วรอบ และตัวแปรของทรานเฟอร์ฟังก์ชัน ตอนท้ายจะอธิบายถึงการออกแบบและการสร้างหม้อแปลงสัญญาณกระตุ้นตามลำดับ เมื่อนำวงจรอิเล็กทรอนิกส์กำลังนี้ไปขับมอเตอร์ การวิเคราะห์ก็เหมือนเช่นเดิม ทั้งนี้เพราะโพลต์ในบทนี้ก็คือ วงจรภายในของอาร์มาเจอร์ของมอเตอร์นั่นเอง



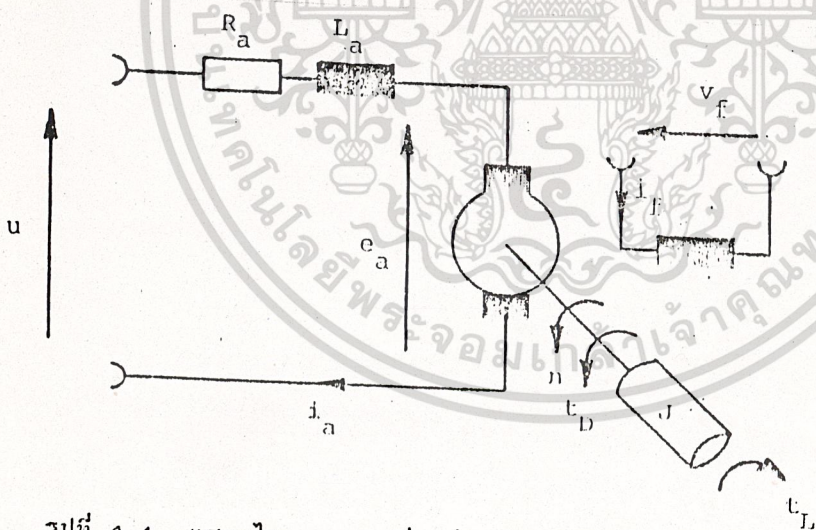
บทที่ 4

มอเตอร์ไฟฟ้ากระแสตรงชนิดกระตุ้นแยก
(Separately Excited DC Motor)

4.1 บทนำ

ในการออกแบบระบบควบคุมความเร็วรอบมอเตอร์นั้น ถึงแม้ว่าจะไม่จำเป็นต้องศึกษาถึงการออกแบบและการสร้างตัวมอเตอร์โดยละเอียด แต่ก็ยังคงจำเป็นจะต้องศึกษาถึงคุณสมบัติที่สำคัญบางอย่างของมอเตอร์ เพื่อประกอบในการออกแบบระบบควบคุมต่อไป ดังนั้นในบทนี้จะอธิบายถึงคุณสมบัติเหล่านี้ซึ่งได้แก่ สมการความเร็วรอบของมอเตอร์ซึ่งจากสมการนี้จะอธิบายวิธีปรับความเร็วรอบมอเตอร์ นอกจากสมการนี้แล้วก็จะอธิบายถึงสาเหตุซึ่งทำให้ความเร็วรอบของมอเตอร์เปลี่ยนไป และตอนต่อมาของบทนี้จะอธิบายถึงทรานส์เฟอร์ฟังก์ชัน และบล็อกไดอแกรมของมอเตอร์ ซึ่งจะนำไปใช้ประกอบการในการออกแบบระบบควบคุมต่อไป

4.2 สมการความเร็วรอบของมอเตอร์ไฟฟ้ากระแสตรงชนิดกระตุ้นแยก



รูปที่ 4.1 แสดงไดอแกรมอย่างง่ายของมอเตอร์ไฟฟ้ากระแสตรงชนิดกระตุ้นแยก

วงจรอาร์มาเจอร์ของมอเตอร์ดังแสดงในรูปที่ 4.1 จะประกอบด้วย e_a เป็นศักดาไฟฟ้าย้อนกลับ (back emf) , R_a เป็นความต้านทานของวงจรอาร์มาเจอร์ และ L_a เป็นค่าอินดักแตนซ์ของวงจรอาร์มาเจอร์เช่นกัน จากไดอแกรมและคุณสมบัติ

บัตินของมอเตอร์สามารถแสดงสมการความสัมพันธ์ของตัวแปรต่างๆ ได้ดังนี้
สมการของคักตาไฟฟ้าย้อนกลับคือ

$$e_u = K_t \phi n \dots\dots\dots (4.1)$$

สมการกำลังบิดของมอเตอร์คือ

$$t_u = K_t \phi i_u \dots\dots\dots (4.2)$$

และสมการของวงจรอาร์มาเจอร์คือ

$$U = i_u R_u + L di_u + e_u \dots\dots\dots (4.3)$$

สมการ (4.1), (4.2), (4.3) สามารถแสดงในกรณีของค่าเฉลี่ยได้คือ

สมการค่าเฉลี่ยของคักตาไฟฟ้าย้อนกลับคือ

$$E_u = K_t \phi N$$

สมการค่าเฉลี่ยของแรงบิดคือ

$$T_u = K_t \phi I_u$$

และสมการในเทอมเฉลี่ยของวงจรอาร์มาเจอร์คือ

$$U = R_u I_u + E_u$$

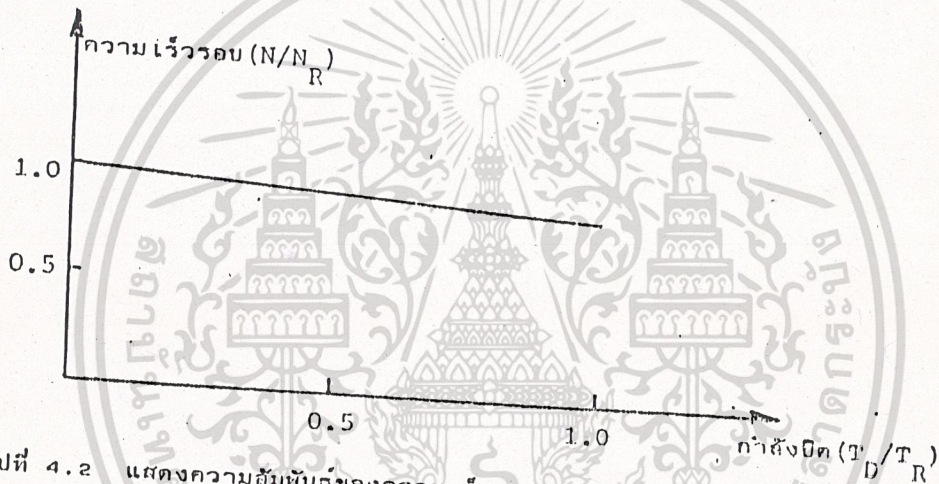
จากสมการและสามารถนำมาจัดใหม่ได้เป็นสมการของความเร็วย้อนคือ

$$N = \frac{U - I_u R_u}{K_t \phi}$$

เมื่อพิจารณาสมการ (4.5) สังเกตได้ว่ากำลังบิดของมอเตอร์ และกระแสไฟฟ้าไหลเข้าวงจรอาร์มาเจอร์จะแปรผันตรงต่อกัน ดังนั้นถ้ากำลังบิดของมอเตอร์มีขนาดคงที่ก็จะทำให้กระแสไฟฟ้าไหลเข้าวงจรอาร์มาเจอร์มีปริมาณคงที่ด้วย นั่นคือเมื่อพิจารณา (4.7) ถ้ากำลังบิดและปริมาณสนามแม่เหล็กภายในมอเตอร์มีปริมาณคงที่แล้ว ความเร็วย้อนของมอเตอร์จะถูกควบคุมด้วยคักตาไฟฟ้าที่ขั้วของวงจรอาร์มาเจอร์ ซึ่งจากคุณสมบัติข้อนี้เองจึงทำให้เกิดวิธีควบคุมความเร็วย้อนมอเตอร์ชนิดนี้ โดยควบคุมคักตาไฟฟ้าที่ขั้วของวงจรอาร์มาเจอร์

4.3 สาเหตุที่ทำให้ความเร็วรอบของมอเตอร์เปลี่ยนไป

เมื่อพิจารณาสมการ (4.7) จะสังเกตเห็นได้ว่าค่าคงที่ k ของวงจรรออาร์มาเจอร์ (b) ในสมการนี้มีปริมาณคงที่ และกำลังบิดของมอเตอร์เปลี่ยนแปลง (เปลี่ยนแปลง) จะมีผลทำให้ความเร็วรอบ ในสมการนี้เปลี่ยนแปลงไปด้วย ซึ่งความสัมพันธ์ของความเร็วยุ่กับกำลังบิดของมอเตอร์ในกรณีนี้สามารถแสดงได้ดังรูปที่ 4.2



รูปที่ 4.2 แสดงความสัมพันธ์ของความเร็วรอบ และกำลังบิด เมื่อค่าคงที่ k ของอาร์มาเจอร์มีค่าคงที่ N/N_R เป็นความเร็วรอบต่อหนึ่งหน่วย (Per Unit) และ N_R เป็นความเร็วรอบที่เกิดขึ้น T_D/T_R เป็นกำลังบิดต่อหนึ่งหน่วย และ T_R เป็นกำลังบิดที่เกิดขึ้น

จากรูปที่ 4.2 สามารถสรุปได้ว่า สำหรับมอเตอร์ไฟฟ้ากระแสตรงชนิดกระตุ้นแยก เมื่อตัดคาไฟฟ้าที่ขั้วอาร์มาเจอร์ไว้แล้ว แกะไหลของมอเตอร์เพิ่มขึ้นจะทำให้ความเร็วรอบลดลง ดังนั้นจึงจำเป็นต้องมีระบบควบคุมเพื่อควบคุมมอเตอร์ไม่ให้ความเร็วรอบของมอเตอร์เปลี่ยนแปลง

4.4 ทรานเฟอ์ฟังก์ชันและบล็อกไดอะแกรมของมอเตอร์ไฟฟ้ากระแสตรงชนิดกระตุ้นแยก
จากบล็อกไดอะแกรมของมอเตอร์ในรูป 4.1 ที่จะได้สมการกำลังบิดคือ

$$t_d = T_L + J \frac{d\omega}{dt} \dots\dots\dots (4.8)$$

สมการ (4.1), (4.2), (4.3), (4.4) และสามารถเขียนใหม่ในโดเมนของลาปลาซ (Laplace domain) คือ

$$E_a(s) = K_f \phi N(s) \dots\dots\dots (4.9)$$

$$T_n(s) = K_a \phi I_a(s) \dots\dots\dots (4.10)$$

$$U(s) = I_a(s)R_a + sL_a I_a(s) + E_a(s) \dots\dots\dots (4.11)$$

$$T_d(s) = T_L(s) + sJW(s) \dots\dots\dots (4.12)$$

จากสมการ (4.11) สามารถจัดเป็นสมการใหม่ได้คือ

$$I_a(s) = \frac{U(s) - E_a(s)}{R_a + sL_a} \dots\dots\dots (4.13)$$

หรือ

$$I_a(s) = \frac{U(s) - E_a(s)}{R_a} \frac{1}{1 + sT_a} \dots\dots\dots (4.14)$$

เมื่อ

$$T_a = \frac{L_a}{R_a} \dots\dots\dots (4.15)$$

T_a นี้มีชื่อเรียกว่า ค่าเวลาคงที่ทางไฟฟ้าของวงจรรอาร์มาเจอร์ และจากสมการ (4.12) สามารถจัดเป็นสมการใหม่ได้คือ

$$N(\omega) = \frac{T_D(\omega) - T_L(\omega)}{\frac{52\pi J}{60}}$$

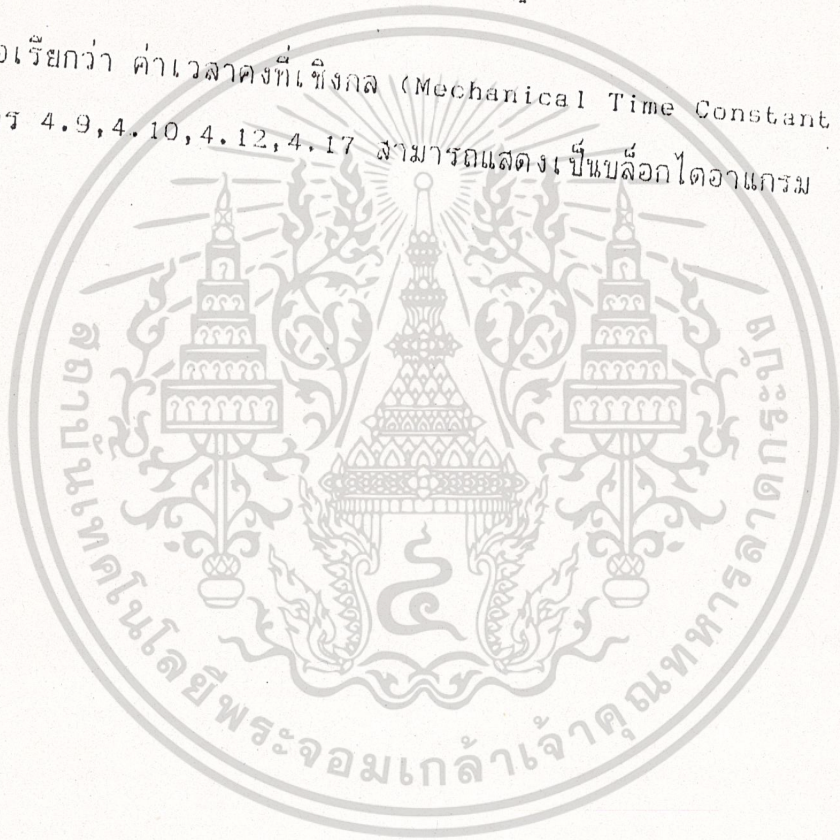
หรือ

$$N(\omega) = \frac{T_D(\omega) - T_L(\omega)}{5T_m}$$

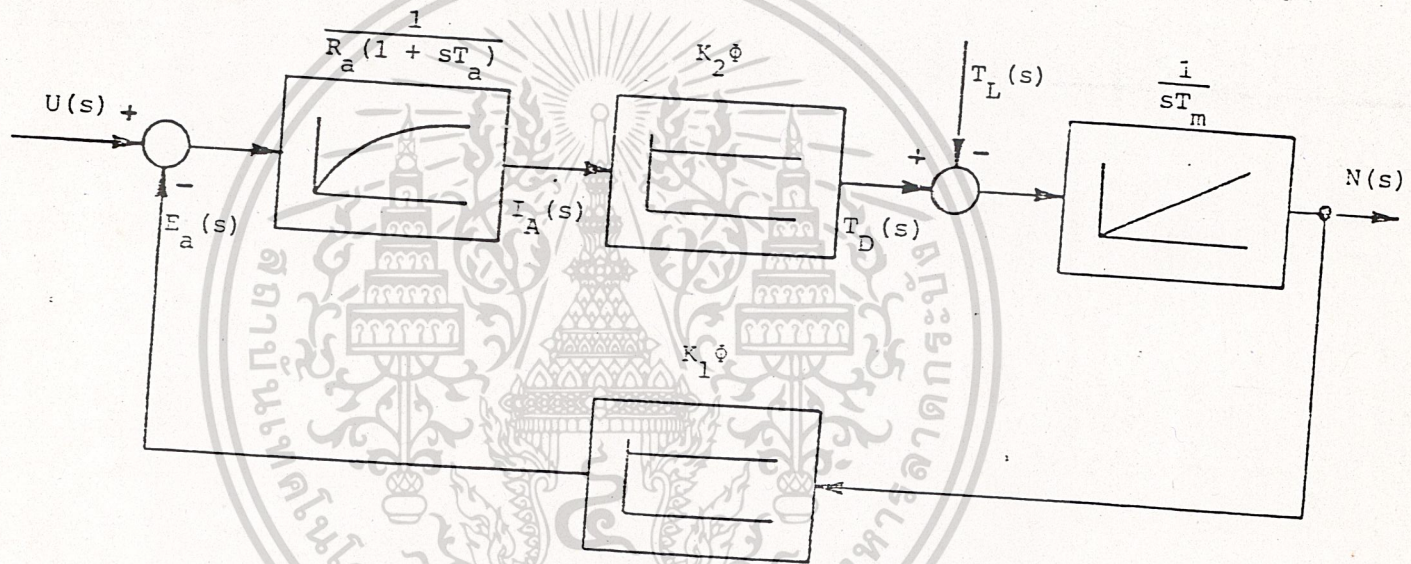
เมื่อ

$$T_m = \frac{2\pi J}{60}$$

T_m นี้มีชื่อเรียกว่า ค่าเวลาดังที่เชิงกล (Mechanical Time Constant)
จากผลการ 4.9, 4.10, 4.12, 4.17 สามารถแสดงเป็นบล็อกไดอแกรม ได้ดังรูปที่
4.3



เอกสารนี้เป็นเอกสารที่สงวนไว้สำหรับการใช้งานเพื่อการศึกษาเท่านั้น ไม่อนุญาตให้นำไปใช้ประโยชน์ด้านการค้า
ไม่ว่ากรณีใดๆ ทั้งสิ้น อีกทั้งห้ามมิให้ดัดแปลงเนื้อหา และต้องอ้างอิงถึงเจ้าของเอกสารทุกครั้งที่มีการนำไปใช้



รูปที่ 4.3 แสดงบล็อกไดอแกรมของมอเตอร์ไฟฟ้ากระแสตรงชนิดกระตุ้นแยก

4.5 บทสรุป

ในบทนี้ได้อธิบายถึงคุณสมบัติที่จำเป็นของมอเตอร์ ซึ่งต้องนำไปใช้ในการออกแบบระบบควบคุมความเร็วรอบ คุณสมบัตินี้ได้แก่ สมการความเร็วรอบ บล็อกไดอแกรม และทรานส์ฟอร์มฟังก์ชันของมอเตอร์ นอกจากคุณสมบัติเหล่านี้แล้ว ในระบบควบคุมจำเป็นต้องมีการวัดค่าตัวแปรที่ถูกควบคุม ดังนั้นในบทต่อไปจะอธิบายถึงระบบการวัดตัวแปรเหล่านี้ของมอเตอร์ต่อไป



บทที่ 5

อุปกรณ์วัด (Measuring Instrument)

5.1 บทนำ

ในระบบควบคุมความเร็วรอบมอเตอร์ที่สร้างขึ้น จะประกอบด้วยระบบควบคุมสองระบบคือระบบควบคุมกระแสไฟฟ้าตรงไหลเข้าวงจรอาร์มาเจอร์ และระบบควบคุมความเร็วรอบ ในระบบควบคุมทั้งสองจะต้องมีอุปกรณ์วัด เพื่อที่จะใช้วัดตัวแปรที่จะถูกควบคุม ดังนั้นในบทนี้จะอธิบายถึง วิธีวัด อุปกรณ์วัด ทราานเฟอ์ฟังก์ชัน และบล็อกไดอาแกรมของอุปกรณ์วัดกระแสไฟฟ้าตรงที่ไหลเข้าวงจรอาร์มาเจอร์ และอุปกรณ์วัดความเร็วรอบ ในตอนสุดท้ายของบท จะอธิบายคุณสมบัติของวงจรรองสัญญาณความถี่ต่ำผ่านพร้อมทั้งทราานเฟอ์ฟังก์ชันและบล็อกไดอาแกรม ซึ่งวงจรมีจะได้นำไปใช้เพื่อกรองสัญญาณตัวแปรที่ถูกวัดโดยอุปกรณ์วัดให้เรียบร้อย

5.2 วิธีวัดและอุปกรณ์วัดกระแสไฟฟ้าตรงไหลเข้าวงจรอาร์มาเจอร์

วงจรมีจะใช้วิธีวัดกระแสไฟฟ้าตรงที่ไหลเข้าวงจรอาร์มาเจอร์โดยตรง โดยใช้หลักการของหม้อแปลงไฟฟ้ากระแสตรงดังรูป 5.1 ทำได้โดยอาศัยพื้นฐานความเป็นเชิงเส้นระหว่างเส้นแรงแม่เหล็ก (Flux) และกระแสเอาท์พุท ในกรณีของการต่อลักษณะของการอนุกรมระหว่างให้ควัด (Transducer Choke) ซึ่งใช้คจะสร้างพรีแมกเนไตซ์ (premagnetized) โดยกระแสไฟฟ้าตรง ซึ่งกระแสไฟฟ้าตรงนี้จะถูกวัดโดยขดปฐมภูมิ (primary) ขดปฐมภูมิจะสร้างแมกเนติกฟลักซ์ (magnetic flux) ซึ่งถูกต่อแบบกลับขั้วกันจากหม้อแปลงออกซิวารี (auxiliary transformer) กระแสสลับจะถูกเหนี่ยวนำผ่านทั้งสองขดของขดทุติยภูมิ (secondary)

ในช่วงครึ่งแรกของสัญญาณ กระแสจะช่วยขดเซพฟลักซ์อีกขดของขดทุติยภูมิ กระแสออกซิวารีจะเป็นสัดส่วนกับกระแสของมอเตอร์ โดยสัมพันธ์กันในอัตราส่วนของหม้อแปลง

$$I_{aux} \propto I_{motor}$$

ดังนั้น I_{aux} จะเป็นกระแสที่ตาม (Ias) อยู่เท่ากับ 90 และเป็นสัญญาณสี่เหลี่ยมอย่างหยาบๆ ตามรูป 3.1 กระแสจะถูกแปลงโดยตัวแปลงกระแสบริดจ์ (bridge rectifier) โดยคร่อมความต้านทานทำให้ได้ศักดาไฟฟ้าเป็นสัดส่วนกับกระแสของมอเตอร์

เพราะว่าผลการตอบสนองของวิธีการวัดชนิดนี้เป็นไปอย่างรวดเร็วมาก จึงทำให้เราสามารถอนุมานได้ว่า ระบบของเรานี้ไม่มีการหน่วงเวลาเกิดขึ้นเลยระหว่างตัวแปรที่ป้อนเข้าวงจรกับตัวแปรที่ต้องการ ซึ่งถ้าสมมติตั้งนี้แล้วเราจะได้ว่าทราานเฟอร์ฟังก์ชันของวิธีวัดนี้จะ เป็นดังต่อไปนี้คือ

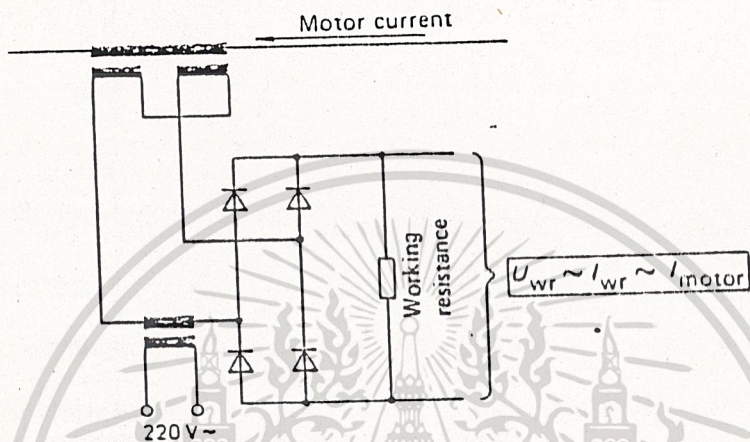
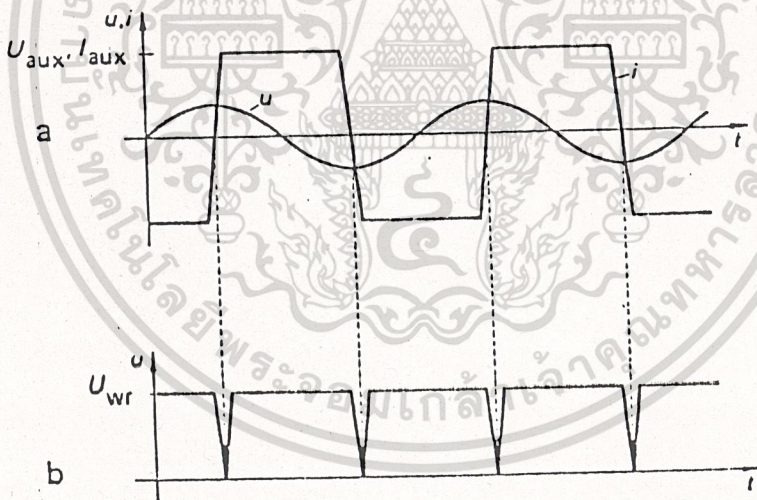
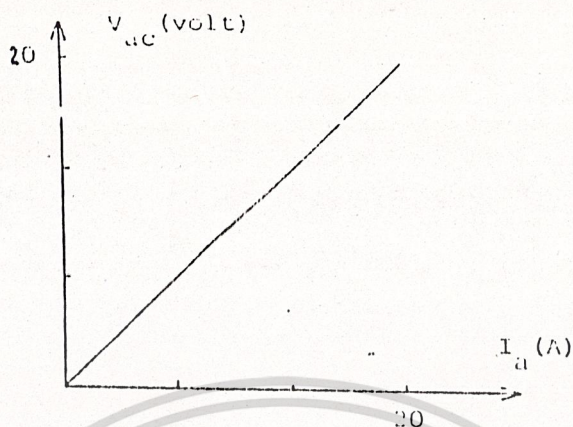


Fig. 6.32 Circuit of a d.c. transformer



รูปที่ 5.1 คัทตาไฟฟ้าและกระแสในหม้อแปลงกระแสตรง

เอกสารนี้เป็นเอกสารที่สงวนไว้สำหรับการใช้งานเพื่อการศึกษาเท่านั้น ไม่นอนุญาตให้นำไปใช้ประโยชน์ด้านการค้า
ไม่ว่ากรณีใดๆ ทั้งสิ้น อีกทั้งห้ามมิให้ดัดแปลงเนื้อหา และต้องอ้างอิงถึงเจ้าของเอกสารทุกครั้งที่มีการนำไปใช้



รูปที่ 5.2 แสดงความสัมพันธ์ระหว่างกระแส I_a และศักดาไฟฟ้า V_{ac}

$$\frac{V_{ac}(s)}{I_a(s)} = K_{ac} \dots (5.1)$$

และสมการที่ 5.1 สามารถเขียนเป็นบล็อกไดอแกรมได้คือ



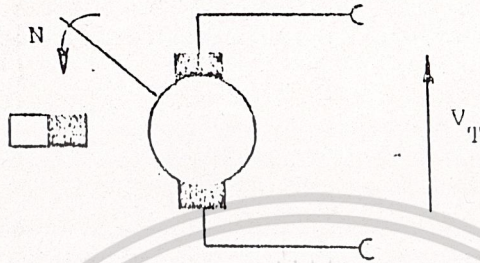
รูปที่ 5.3 แสดงบล็อกไดอแกรมของการวัดกระแสไฟฟ้าตรง I_a

5.3 วิธีการวัดและหาการแก้ความเร็วรอบมอเตอร์

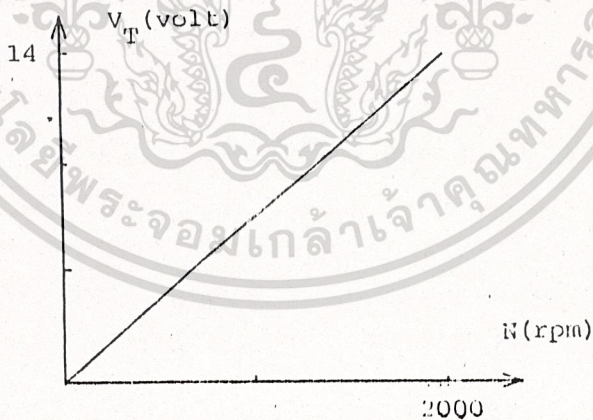
ในระบบควบคุมความเร็วรอบที่สร้างจะใช้วิธีการวัดความเร็วรอบ โดยติดตั้งทาโคเจนเนอร์เรเตอร์ศักดาไฟฟ้าตรงชนิดแม่เหล็กถาวรกับมอเตอร์ที่ถูกควบคุม ซึ่งรูปที่

5.4 แสดงไดอแกรมของทาโคเจนเนอร์เรเตอร์ชนิดนี้ ความสัมพันธ์ระหว่างความเร็วรอบของมอเตอร์ N และศักดาที่ถูกสร้างขึ้น V_T มีดังแสดงในรูป 5.5 ศักดาไฟฟ้า V_T

นี้ จะถูกใช้เป็นสัญญาณป้อนกลับของระบบควบคุมความเร็วรอบต่อไป



รูปที่ 5.4 แสดงไดอะแกรมอย่างง่ายของทาคโคเจนเนอเรเตอร์ที่ติดตั้งแม่เหล็กถาวร



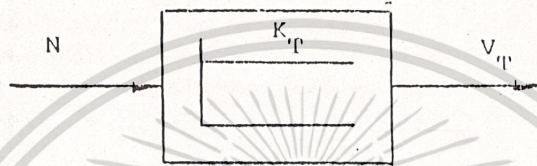
รูปที่ 5.5 แสดงความสัมพันธ์ระหว่างความเร็วรอบมอเตอร์และศักดาไฟฟ้าตรง V_T ที่ถูกสร้างขึ้นโดยทาคโคเจนเนอเรเตอร์

เอกสารนี้เป็นเอกสารที่สงวนไว้สำหรับการใช้งานเพื่อการศึกษาเท่านั้น ไม่นอนุญาตให้นำไปใช้ประโยชน์ด้านการค้าไม่ว่ากรณีใดๆ ทั้งสิ้น อีกทั้งห้ามมิให้ดัดแปลงเนื้อหา และต้องอ้างอิงถึงเจ้าของเอกสารทุกครั้งที่มีการนำไปใช้

เพราะว่าการตอบสนองของวิธีวัดชนิดนี้ เป็นไปอย่างไร้ที่หน้กันใด คล้ายกับในวงจรวัดกระแส ดังนั้นเทรานเฟอ์ฟังก์ชันของการวัดชนิดนี้จึงอยู่ในลักษณะเดียวกับสมการ (5.1) คือ

$$\frac{V_T(s)}{N(s)} = K_T$$

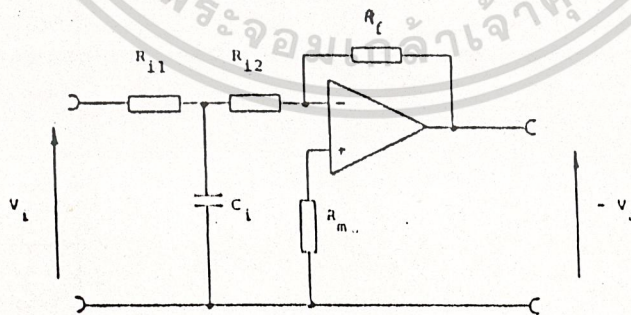
และสมการ (5.2) สามารถเขียนเป็นบล็อกไดอะแกรมดังรูปที่ 5.6



รูปที่ 5.6 แสดงบล็อกไดอะแกรมของการวัดความเร็วรอบ

5.4 วงจรกรองสัญญาณความถี่ต่ำผ่าน

โดยปกติคิกตาไฟฟ้า $V_{a.c}$ และ V_T ที่ได้จากอุปกรณ์วัดมักมีลักษณะเป็นสัญญาณที่มีสัญญาณรบกวนปนอยู่ด้วย ดังนั้นเราจึงจำเป็นต้องมีวงจรกรองสัญญาณความถี่ต่ำผ่าน เพื่อทำหน้าที่ลดสัญญาณรบกวนนั้นและทำให้สัญญาณที่ได้จากการวัดเรียบขึ้น เพื่อที่จะทำให้ระบบควบคุมทำงานได้เที่ยงตรงขึ้น วงจรกรองสัญญาณความถี่ต่ำผ่านสำหรับในที่นี้มีดังแสดงในรูปที่ 5.7 และวงจรนี้สามารถวิเคราะห์ได้คือ



รูปที่ 5.7 แสดงวงจรสัญญาณความถี่ต่ำผ่าน

ค่าคอมเพล็กซ์อิมพีแดนซ์ (Complex Impedance) ของด้านเข้าสามารถแสดงแทนได้โดย

เอกสารนี้เป็นเอกสารที่สงวนไว้สำหรับการใช้งานเพื่อการศึกษาเท่านั้น ไม่นอนุญาตให้นำไปใช้ประโยชน์ด้านการค้าไม่ว่ากรณีใดๆ ทั้งสิ้น อีกทั้งห้ามมิให้ดัดแปลงเนื้อหา และต้องอ้างอิงถึงเจ้าของเอกสารทุกครั้งที่มีการนำไปใช้

$$Z_1 = (R_{11} + R_{12}) \frac{1 + sR_{11}R_{12}C_1}{R_{11} + R_{12}} \quad (5.3)$$

และทรานเฟอ์ฟังก์ชันของวงจรเป็น

$$F(s) = \frac{-V_o(s)}{V_i(s)} = \frac{R_f}{R_{11} + R_{12}} \frac{1}{1 + sR_{11}R_{12}C_1} \quad (5.4)$$

เมื่อกำหนดให้

$$A_v = \frac{R_f}{R_{11} + R_{12}} \quad (5.5)$$

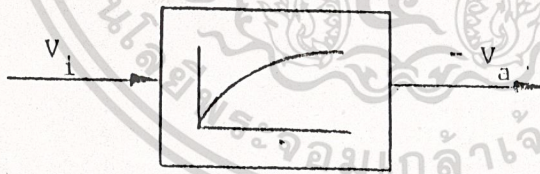
และ

$$t_{sm} = \frac{R_{11}R_{12}C_1}{R_{11} + R_{12}} \quad (5.6)$$

สมการ 5.4 อาจสามารถจัดใหม่

$$F(s) = \frac{-V_o(s)}{V_i(s)} = A_v \frac{1}{1 + st_{sm}} \quad (5.7)$$

สมการที่ 5.7 สามารถแสดงบล็อกไดอแกรมได้ดังรูปที่ 5.8



รูปที่ 5.8 แสดงบล็อกไดอแกรมของวงจรกรองสัญญาณความถี่ต่ำ

5.5 บทสรุป

ในบทนี้ได้อธิบายถึงอุปกรณ์วัดกระแสไฟฟ้าตรงไหลเข้าวงจรอาร์มาเจอร์ และ อุปกรณ์วัดความเร็วรอบ ซึ่งอุปกรณ์เหล่านี้มีความจำเป็นต่อการใช้ควบคุมความเร็วรอบ นอกจากอธิบายถึงอุปกรณ์แล้วยังอธิบายถึงทรานเฟอ์ฟังก์ชันของอุปกรณ์วัดซึ่งจะ

ถูกนำไปใช้ในการออกแบบระบบควบคุม โดยปกติค่าซึ่งได้จากการวัดจะมีสัญญาณรบกวน
อยู่ด้วย ดังนั้นในตอนท้ายได้อธิบายถึง วงจรกรองสัญญาณความถี่ต่ำผ่านซึ่งใช้
กรองสัญญาณเหล่านั้น เมื่อเข้าใจถึงอุปกรณ์การวัด และส่วนต่างๆของระบบดังแสดงใน
บทก่อนหน้านั้นแล้ว ในบทต่อไปจะอธิบายถึงการออกแบบวงจรควบคุมซึ่งใช้ในระบ
ควบคุมความเร็วรอบ



เอกสารนี้เป็นเอกสารที่สงวนไว้สำหรับการใช้งานเพื่อการศึกษาเท่านั้น ไม่อนุญาตให้นำไปใช้ประโยชน์ด้านการค้า
ไม่ว่ากรณีใดๆ ทั้งสิ้น อีกทั้งห้ามมิให้ดัดแปลงเนื้อหา และต้องอ้างอิงถึงเจ้าของเอกสารทุกครั้งที่มีการนำไปใช้

บทที่ 6

ระบบควบคุมและวงจรรวม

(Control System and Controller Circuit)

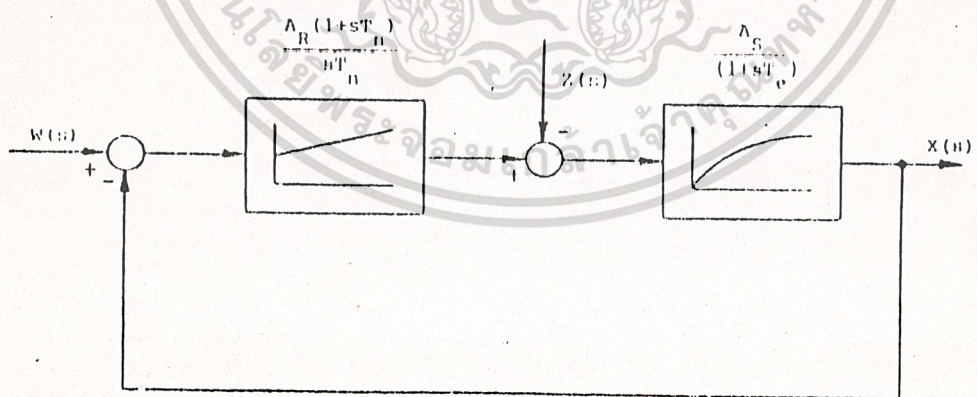
6.1 บทนำ

โดยปกติการขับมอเตอร์โดยตรงด้วยวิธีลูปเปิด (Open loop) ความเร็วรอบของมอเตอร์จะเปลี่ยนแปลงไปเมื่อโหลดของมอเตอร์เปลี่ยน ดังนั้นในระบบควบคุมความเร็วรอบที่เที่ยงตรงจึงจำเป็นต้องมีระบบควบคุมชนิดลูปปิด (Close loop) ส่วนสำคัญของระบบคือ วงจรรวมซึ่งวงจรรวมนี้จะ เป็นส่วนที่กำหนดคุณสมบัติของระบบ และสามารถทำให้ระบบทำงานได้ดีที่สุด ในบทนี้จะอธิบายถึงรายละเอียดดังกล่าวคือ อธิบายถึงคุณสมบัติต่างๆของระบบควบคุม และชนิดของวงจรรวมซึ่งจะทำให้ระบบทำงานได้ดีที่สุด

6.2 คุณสมบัติของระบบควบคุมที่มีวงจรรวมชนิด PI

ในการพิจารณาระบบควบคุมชนิด PI จะพิจารณาเป็นสองกรณีคือ กรณีที่ระบบได้รับคำสั่งในทันทีทันใด (Step command) และในกรณีที่ระบบได้รับโหลดในทันทีทันใด ระบบควบคุมที่จะพิจารณามีอยู่สองชนิดคือ

6.2.1 ระบบควบคุมที่มีอุปกรณ์ควบคุมชนิดอินทิเกรตหนึ่ง



รูปที่ 6.1 แสดงระบบควบคุมที่มี วงจรรวมชนิด PI และมีอุปกรณ์ควบคุมชนิด อินทิเกรตหนึ่ง

เอกสารนี้เป็นเอกสารที่สงวนไว้สำหรับการใช้งานเพื่อการศึกษาเท่านั้น ไม่อนุญาตให้นำไปใช้ประโยชน์ด้านการค้า ไม่ว่ากรณีใดๆ ทั้งสิ้น อีกทั้งห้ามมิให้ดัดแปลงเนื้อหา และต้องอ้างอิงถึงเจ้าของเอกสารทุกครั้งที่มีการนำไปใช้

ทรานเฟอร์ฟังก์ชันของระบบนี้คือ

$$\frac{X(s)}{W(s)} = \frac{\Lambda_R \Lambda_S (1 + sT_n)}{sT_n (1 + sT_e) + \Lambda_R \Lambda_S (1 + sT_n)} \quad (6.1)$$

เมื่อพิจารณาสมการของความผิดพลาด(Error) คือ

$$\frac{E(s)}{W(s)} = \frac{W(s) - X(s)}{W(s)} = \frac{sT_n (1 + sT_e)}{sT_n (1 + sT_e) + \Lambda_R \Lambda_S (1 + sT_n)} \quad (6.2)$$

เมื่อพิจารณาสมการ (6.2) ที่สภาวะคงตัว (t))

$$\frac{E(s)}{W(s)} = 0 \quad \dots\dots (6.3)$$

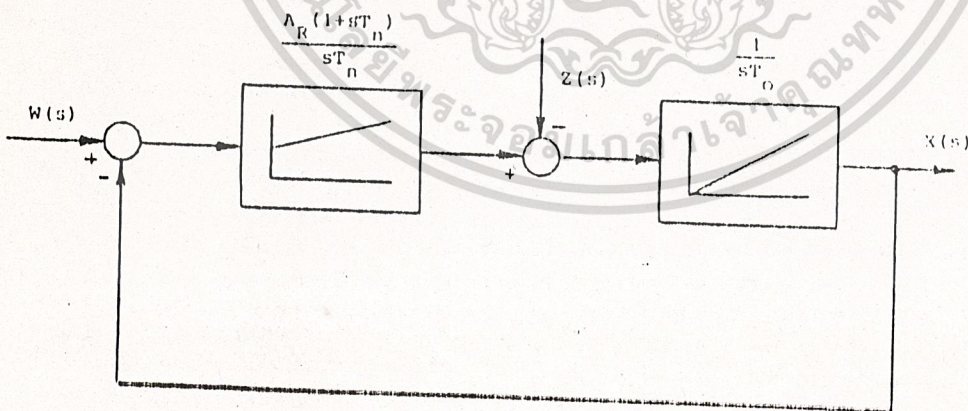
เมื่อพิจารณาทรานเฟอร์ฟังก์ชันระหว่างตัวแปรที่ต้องการกับโหลตจะ ได้สมการคือ

$$\frac{X(s)}{Z(s)} = \frac{sT_n \Lambda_S}{sT_n (1 + sT_e) + \Lambda_R \Lambda_S (1 + sT_n)} \quad \dots\dots (6.4)$$

และเมื่อพิจารณาสมการ (6.4) ที่สภาวะคงตัว (t))

$$\frac{X(s)}{Z(s)} = 0 \quad \dots\dots (6.5)$$

6.2.2 ระบบควบคุมซึ่งมีอุปกรณ์ควบคุมชนิดอินทิเกรต



รูปที่ 6.2 แสดงระบบควบคุมซึ่งมีวงจรควบคุมชนิด PI และมีอุปกรณ์ควบคุมชนิดอินทิเกรต

เอกสารนี้เป็นเอกสารที่สงวนไว้สำหรับการใช้งานเพื่อการศึกษาเท่านั้น ไม่นอนุญาตให้拿去ใช้ประโยชน์ด้านการค้า
ไม่ว่ากรณีใดๆ ทั้งสิ้น อีกทั้งห้ามมิให้ดัดแปลงเนื้อหา และต้องอ้างอิงถึงเจ้าของเอกสารทุกครั้งที่มีการนำไปใช้

ทราบเฟอว์ฟังก์ชันของระบบควบคุมนี้คือ

$$\frac{X(s)}{W(s)} = \frac{A_R (1 + sT_n)}{s^2 T_n T_o + A_R (1 + sT_n)} \dots\dots (6.6)$$

เมื่อพิจารณาสมการของความผิดพลาดคือ

$$\frac{E(s)}{W(s)} = \frac{W(s) - X(s)}{W(s)} = \frac{s^2 T_n T_o}{s^2 T_n T_o + A_R (1 + sT_n)} \dots\dots (6.7)$$

และเมื่อพิจารณาสมการ (6.7) ที่สภาวะคงตัว (e)

$$\frac{E(s)}{W(s)} = 0 \dots\dots (6.8)$$

และเมื่อพิจารณาทราบเฟอว์ฟังก์ชันระหว่างตัวแปรที่ต้องการกับโหลดจะได้สมการคือ

$$\frac{X(s)}{Z(s)} = \frac{sT_n}{s^2 T_n T_o + A_R (1 + sT_n)} \dots\dots (6.9)$$

และเมื่อพิจารณาที่สภาวะคงตัว

$$\frac{X(s)}{Z(s)} = 0 \dots\dots (6.10)$$

เมื่อพิจารณาสมการ (6.8), (6.9), (6.10) และ (6.10) จะสามารถสังเกตได้ถึงคุณสมบัติของวงจรควบคุมชนิด PI ซึ่งสามารถทำให้ตัวแปรที่ต้องการเป็นไปตามต้องการที่สภาวะคงตัว แม้ว่าจะเปลี่ยนแปลงโหลด ดังนั้นจึงใช้วงจรควบคุมชนิดนี้ในการควบคุมการทำงานของระบบ

6.3 การทำให้ระบบทำงานที่ดีที่สุด (Optimization)

ระบบควบคุมจะทำงานที่ดีที่สุดเมื่อระบบสามารถตอบสนองต่อการทำงานได้เร็ว มีความแม่นยำ และมีเสถียรภาพ (stability) ซึ่งคุณสมบัตินี้เมื่อพิจารณาในโดเมนความถี่คือ ระบบต้องมีโดเมนความถี่กว้างสุด และมีขนาดใกล้เคียงหนึ่ง จากแนวความคิดนี้สามารถแสดงถึงวิธีการที่ทำให้ระบบทำงานได้ดีที่สุด ถ้าสมมติสมการทราบเฟอว์ฟังก์ชันของระบบควบคุมเป็น

$$F_w(j\omega) = \frac{a_0 + j\omega a_1}{a_0 + j\omega a_1 + (j\omega)^2 a_2 + (j\omega)^3 a_3} \quad (6.11)$$

ขนาดของสมการ (6.11) คือ

$$|F_w(\omega)| = \sqrt{\frac{a_0^2 + \omega^2 a_1^2}{a_0^2 + \omega^2 (a_1^2 - 2a_0 a_2) + \omega^4 (a_2^2 - 2a_1 a_3) + \omega^6 a_3^2}} \quad (6.12)$$

ถ้ากำหนดให้

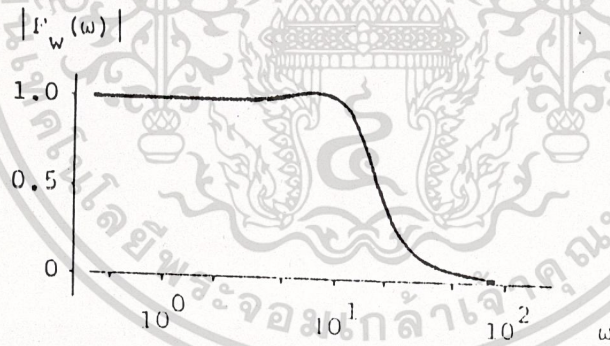
$$a_1^2 = 2a_0 a_2 \quad \dots (6.13)$$

$$a_2^2 = 2a_1 a_3 \quad \dots (6.14)$$

เมื่อนำสมการ (6.10), (6.14) แทนลงในสมการ (6.12) ได้สมการใหม่คือ

$$|F_w(\omega)| = \sqrt{\frac{1 + \omega^2 (a_1/a_0)^2}{1 + \omega^6 (a_3/a_0)^2}} \quad (6.15)$$

สมการ (6.15) สามารถแสดงเมื่อเป็นฟังก์ชันของความถี่ได้ดังในรูปที่ 6.3

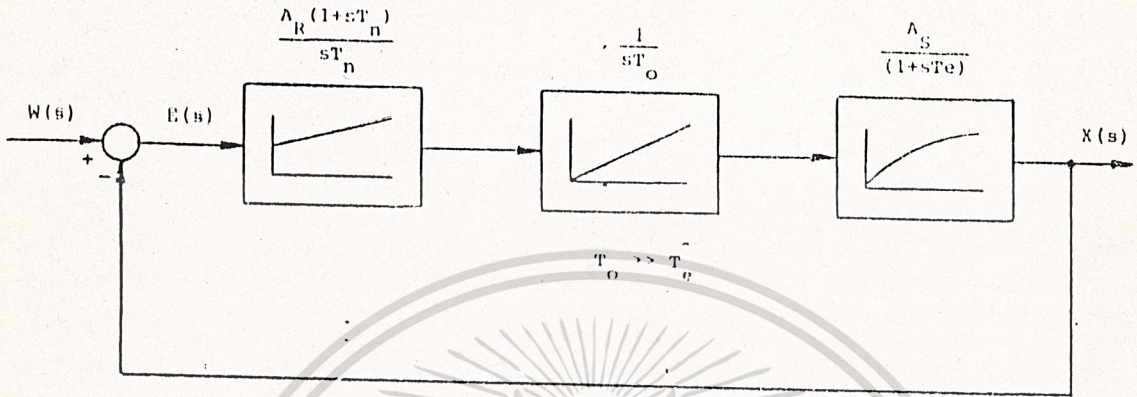


รูปที่ 6.3 แสดงคุณสมบัติไบโไดนามของค่าความถี่ของสมการ (6.15)

เมื่อพิจารณาจากรูปที่ 6.3 สังเกตได้ว่าถ้าเรื่อนไขตั้งในสมการ (6.13) และ (6.14) เป็นจริงก็จะได้คุณสมบัติของระบบซึ่งทำงานได้ดีที่สุดตามต้องการ การทำให้ระบบทำงานดีที่สุดในที่นี้เรียกว่า ซิมเมตริกคอล ออปติ멈 ต่อไปจะอธิบายถึงวิธีการทำให้ระ

บทบาทงานที่ดีที่สุดของระบบควบคุมสองชนิดคือ

6.3.1 ระบบซึ่งมีอุปกรณ์ควบคุมชนิดอินทิเกรตและอุปกรณ์หน่วงออร์เตอร์หนึ่งขนาดเล็ก



รูปที่ 6.4 แสดงระบบซึ่งมีอุปกรณ์ควบคุมชนิดอินทิเกรตและอุปกรณ์หน่วงออร์เตอร์หนึ่งขนาดเล็ก

ทรานเฟอร์ฟังก์ชันของระบบคือ

$$F_w(s) = \frac{X(s)}{W(s)} = \frac{A_R A_s (1 + sT_n)}{A_R A_s + sA_R A_s T_n + s^2 T_n T_o + s^3 T_n T_o T_e} \dots (6.16)$$

เมื่อเปรียบเทียบสมการ (6.11) กับสมการ (6.16) จะได้ความสัมพันธ์คือ

$$a_0 = A_R A_s \dots (6.17)$$

$$a_1 = A_R A_s T_n \dots (6.18)$$

$$a_2 = T_n T_o \dots (6.19)$$

$$a_3 = T_n T_o T_e \dots (6.20)$$

แทนค่าสมการ (6.17), (6.18), (6.19) และ (6.20) ลงในสมการ (6.13) และ (6.14) จะได้ความสัมพันธ์คือ

$$(A_R A_s T_n)^2 = 2A_R A_s T_n T_o \dots (6.21)$$

$$T_n^2 T_o^2 = 2A_R A_s T_n^4 T_o T_e \dots (6.22)$$

จากสมการ (6.21) และ (6.22) จะได้สมการใหม่คือ

$$A_R A_s T_n = 2T_o$$

$$T_o = 2A_R A_s T_e$$

เอกสารนี้เป็นเอกสารที่สงวนไว้สำหรับการใช้งานเพื่อการศึกษาเท่านั้น ไม่นุญาตให้นำไปใช้ประโยชน์ด้านการค้า ไม่ว่ากรณีใดๆ ทั้งสิ้น อีกทั้งห้ามมิให้ดัดแปลงเนื้อหา และต้องอ้างอิงถึงเจ้าของเอกสารทุกครั้งที่มีการนำไปใช้

$$T_n = 4T_w \dots\dots (6.23)$$

$$A_n = T_n / 2A_s T_w \dots\dots (6.24)$$

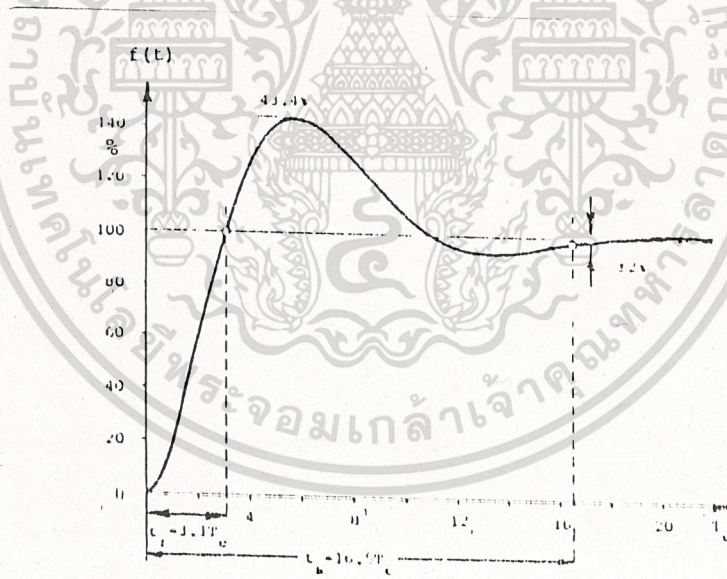
เมื่อนำสมการ (6.23) และ (6.24) แทนลงในสมการ (6.16) จะได้สมการใหม่คือ

$$F_w(s) = \frac{1 + s4T_w}{1 + s4T_w + s^2 8T_w^2 + s^3 8T_w^3} \dots\dots (6.25)$$

สมการ (6.25) จะได้คำตอบในโดเมนของเวลาเมื่อคำสั่งเป็นชนิดขั้นบันได (step command) ขนาดเท่ากับหนึ่งคือ

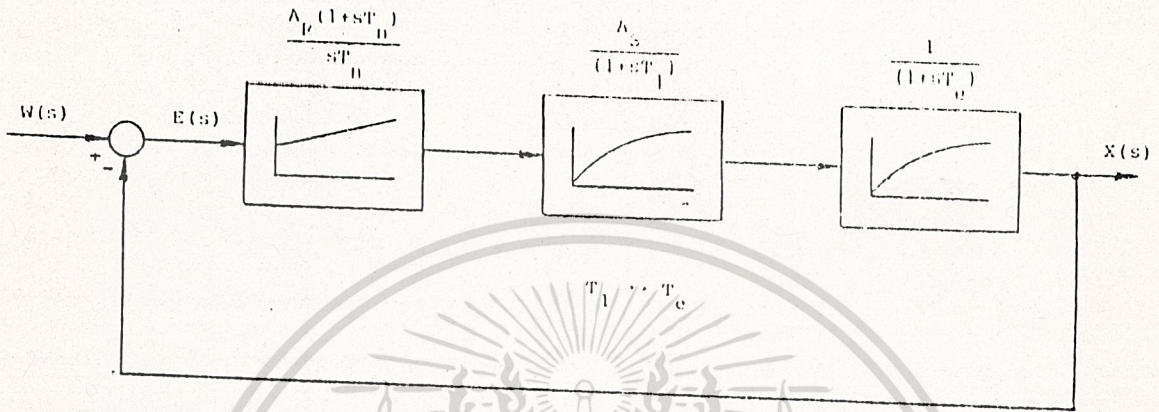
$$f(t) = 1 + e^{-t/2T_w} - 2e^{-t/4T_w} - \cos(\sqrt{3}t/4T_w) \dots\dots (6.26)$$

สมการ (6.26) สามารถแสดงรูปลักษณ์ได้ดังในรูปที่ 6.5 รูปนี้จะเป็นการแสดงผลการตอบสนองของระบบที่ทำงานดีที่สุด เมื่อได้รับคำสั่งในขั้นบันได โดยที่วงจรมุมในระบับนี้มีค่าตัวแปรดังในสมการ (6.23) และ (6.24)



รูปที่ 6.5 แสดงการตอบสนองในขั้นบันไดของระบบซึ่งถูกกำหนดให้ทำงานดีที่สุดด้วย

6.3.2 ระบบซึ่งมีอุปกรณ์ควบคุมชนิดอุปกรณ์หน้าวงออร์เตอร์หนึ่งขนาดใหญ่และ
อุปกรณ์หน้าวงออร์เตอร์หนึ่งขนาดเล็ก



รูปที่ 6.6 แสดงระบบซึ่งมีอุปกรณ์ควบคุมชนิดอุปกรณ์หน้าวงออร์เตอร์หนึ่งขนาดใหญ่
และอุปกรณ์หน้าวงออร์เตอร์หนึ่งขนาดเล็ก

ทรานเฟอร์ฟังก์ชันของระบบนี้คือ

$$\frac{X(s)}{W(s)} = \frac{1 + sT_n}{1 + sT_n \left(1 + \frac{1}{\Lambda_R \Lambda_S} \right) + s^2 T_n \left(\frac{T_1 + T_c}{\Lambda_R \Lambda_S} \right) + s^3 T_n \left(\frac{T_1 T_c}{\Lambda_R \Lambda_S} \right)} \quad (6.27)$$

นำสมการ (6.25) มาพิจารณาโดยแทน T_n ด้วย β จะได้สมการใหม่คือ

$$\frac{X(s)}{W(s)} = \frac{1 + s4\beta}{1 + s4\beta + s^2 8\beta^2 + s^3 8\beta^3} \quad (6.28)$$

เมื่อเปรียบเทียบสมการ (6.27) และ (6.28) จะได้ความสัมพันธ์คือ

$$4\beta = T_n \left(1 + \frac{1}{\Lambda_R \Lambda_S} \right) \quad (6.29)$$

$$8\beta^2 = T_n \left(\frac{T_1 + T_c}{\Lambda_R \Lambda_S} \right) \quad (6.30)$$

เอกสารนี้เป็นเอกสารที่ครูไปไว้สำหรับใช้ในงานเพื่อการศึกษาเท่านั้น ไม่อนุญาตให้นำไปใช้ประโยชน์ด้านการค้า
ไม่ว่ากรณีใดๆ ทั้งสิ้น อีกทั้งห้ามมิให้ดัดแปลงเนื้อหา และต้องอ้างอิงถึงเจ้าของเอกสารทุกครั้งที่มีนำไปใช้ -

$$8\beta^3 = T_n \frac{T_1 T_c}{\Lambda_R \Lambda_S} \quad (6.31)$$

สมการ (6.29) สามารถเขียนใหม่ได้เป็น

$$\beta = \frac{T_n}{4} \left(1 + \frac{1}{\Lambda_R \Lambda_S} \right) \quad (6.32)$$

นำสมการ (6.30) หาดด้วยสมการ (6.29)

$$\beta = \frac{1}{2} \frac{T_1 + T_e}{1 + \Lambda_R \Lambda_S} \quad (6.33)$$

นำสมการ (6.31) หาดด้วยสมการ (6.30)

$$\beta = \frac{T_1 T_e}{T_1 + T_e} \quad (6.34)$$

ดังนั้นจากสมการ (6.35), (6.36) และ (6.34) จะได้ค่า A_R และ T_n ของวงจรควบคุมคือ

$$A_R = \frac{T_1}{2\Lambda_S T_e} \left(1 + \frac{T_e^2}{T_1^2} \right) \quad (6.35)$$

$$T_n = \frac{4T_e \left(1 + \frac{T_e^2}{T_1^2} \right)}{\left(1 + T_e / T_1 \right)^3} \quad (6.36)$$

เอกสารนี้เป็นเอกสารที่สงวนไว้สำหรับการใช้งานเพื่อการศึกษาเท่านั้น ไม่อนุญาตให้นำไปใช้ประโยชน์ด้านการค้า
ไม่ว่ากรณีใดๆ ทั้งสิ้น อีกทั้งห้ามมิให้ดัดแปลงเนื้อหา และต้องอ้างอิงถึงเจ้าของเอกสารทุกครั้งที่มีการนำไปใช้

และเมื่อนำสมการ (6.35) และ (6.36) ลงใน (6.27) สมการจะได้สมการใหม่คือ

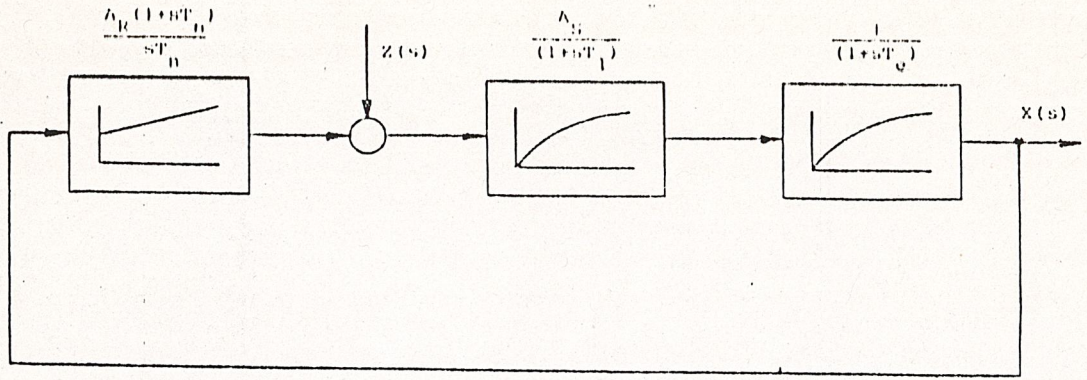
$$F_w = \frac{1 + s^4 T_e \left(\frac{1 + T_e^2/T_1^2}{(1 + T_e/T_1)^2} \right)}{1 + s \left(\frac{4T_e}{1 + T_e/T_1} \right) + s^2 \left(\frac{8T_e^2}{(1 + T_e/T_1)^2} \right) + s^3 \left(\frac{8T_e^3}{(1 + T_e/T_1)^3} \right)} \quad (6.37)$$

ถ้า $T_e \ll T_1$ จะได้สมการ (6.35), (6.36) และ (6.37) ใหม่คือ

$$A_R = \frac{T_1}{2\lambda_s T_e} \quad (6.38)$$

เมื่อพิจารณาสมการ (6.40) จะมีลักษณะเป็นเช่นเดียวกับสมการ (6.25) ดังนั้นในระบบนี้ถ้าค่า $T_e \ll T_1$ เป็นจริงแล้วการตอบสนองต่อระบบเมื่อได้รับคำสั่งในทันทีทันใดก็เป็นเช่นเดียวรูปที่ 6.5

เมื่อวงจรมอบของระบบในรูปที่ 6.4 และรูปที่ 6.6 มีตัวแปรตามสมการที่ (6.23), (6.24) หรือ (6.38), (6.39) จะทำให้ระบบทั้งสองทำงานได้ดีที่สุด นอกจากพิจารณาคุณสมบัติของระบบเมื่อได้รับคำสั่งแล้ว จำเป็นต้องพิจารณาเมื่อระบบควบคุมได้รับโหลดด้วย ดังนั้นต่อไปจะอธิบายถึงผลที่จะเกิดขึ้นเมื่อระบบควบคุมถูกปรับแต่งให้ทำงานดีที่สุด แล้วได้รับโหลดทันทีทันใด จะมีผลทำให้ตัวแปรนี้เปลี่ยนไปอย่างไร พิจารณาจากระบบควบคุมในรูปที่ 6.6 เมื่อพิจารณาเฉพาะผลของโหลดจะแสดงในรูปที่ 6.7

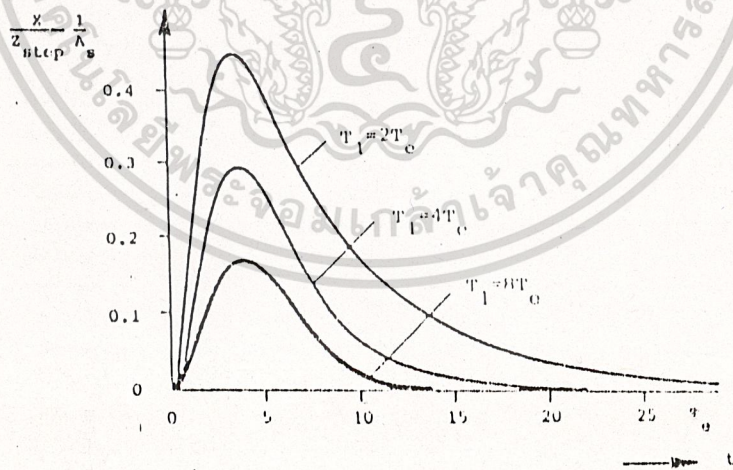


รูปที่ 6.7 แสดงระบบควบคุมในรูปที่ 6.6 เมื่อพิจารณาเฉพาะผลจากโลก

ทราบเฟอ์ฟังก์ชันระหว่างตัวแปรที่ต้องการกับโหลดของระบบควบคุม เมื่อระบบควบคุม ถูกปรับให้ทำงานดีที่สุดคือ

$$\frac{X(s)}{Z(s)} = \frac{\Lambda_S}{1 + s2T_c} \cdot \frac{4T_c}{T_1} \cdot \frac{s2T_c}{1 + s2T_c + s^2 4T_c^2} \quad (6.41)$$

ซึ่งรูปที่ 6.8 จะแสดงผลการตอบสนองของสมการ (6.41) เมื่อระบบควบคุมได้รับ โหลดในทันทีทันใดในรูปนี้จะแสดงในกรณีที $T_1 = 0T_c$, $T_1 = 4T_c$ และ $T_1 = 2T_c$



รูปที่ 6.8 แสดงการตอบสนองของระบบควบคุมในรูปที่ 6.7 ซึ่งได้รับโหลดในทันทีทันใดเมื่อความสัมพันธ์ระหว่าง T_1 และ T_c ต่าง ๆ กัน

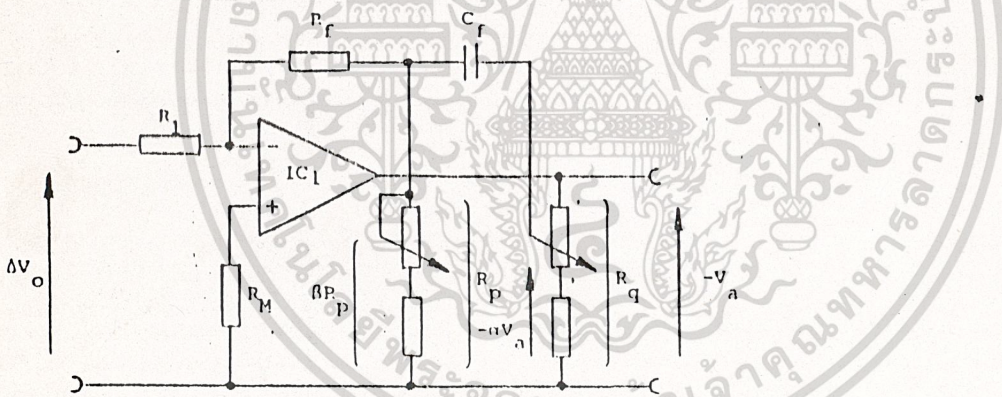
หัวข้อนี้ได้อธิบายถึงวิธีการหาค่าตัวแปรของวงจรถอบคุมซึ่งทำให้ระบบควบคุมทำงานได้ดีที่สุด นอกจากนี้ได้แสดงคุณสมบัติการตอบสนองต่อคำสั่งและ โหลดของระบบควบคุมนี้ ดังนั้นในหัวข้อต่อไปจะอธิบายถึงรายละเอียดของวงจรถอบคุม

6.4 วงจรถอบคุม

ในวงจรมีจะประกอบด้วยลูปควบคุมสองลูป ซึ่งทั้งสองลูปใช้วงจรถอบคุมชนิด PI ซึ่งมีทรานเฟอร์ฟังก์ชันคือ

$$\frac{\Delta V_o(s)}{-V_a(s)} = A_R \frac{1 + sT_n}{sT_n} \tag{6.42}$$

วงจรถอบคุมชนิด PI ที่ใช้แสดงในรูปที่ 6.9 และสามารถแสดงบล็อกไดอแกรมได้ดังในรูปที่ 6.10



รูปที่ 6.9 แสดงวงจรถอบคุมชนิด PI

จากวงจรมีในรูปที่ 6.9 จะได้ค่าตัวแปรที่ต้องการในสมการ 6.42 คือ

$$A_{Ra} = \frac{R_f}{R_1} \frac{1}{\alpha} \tag{6.43}$$

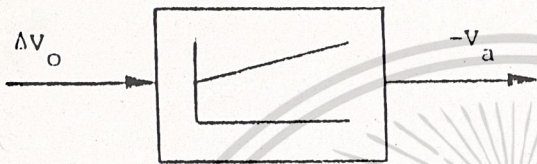
$$T_{n\beta} = \frac{R_f \beta R_p}{R_f + \beta R_p} C_f \tag{6.44}$$

สมการ (6.43), (6.44) จะเป็นจริงได้ก็ต่อเมื่อเงื่อนไขต่อไปนี้เป็นจริง

เอกสารนี้เป็นเอกสารที่สงวนไว้สำหรับการใช้งานเพื่อการศึกษาเท่านั้น ไม่นอนุญาตให้นำไปใช้ประโยชน์ด้านการค้าไม่ว่ากรณีใดๆ ทั้งสิ้น อีกทั้งห้ามมิให้ดัดแปลงเนื้อหา และต้องอ้างอิงถึงเจ้าของเอกสารทุกครั้งที่มีการนำไปใช้

$$\frac{R_q}{R_f} \approx 0.1 \quad (6.45)$$

$$\frac{R_q}{R_p} \lesssim 1 \quad (6.46)$$

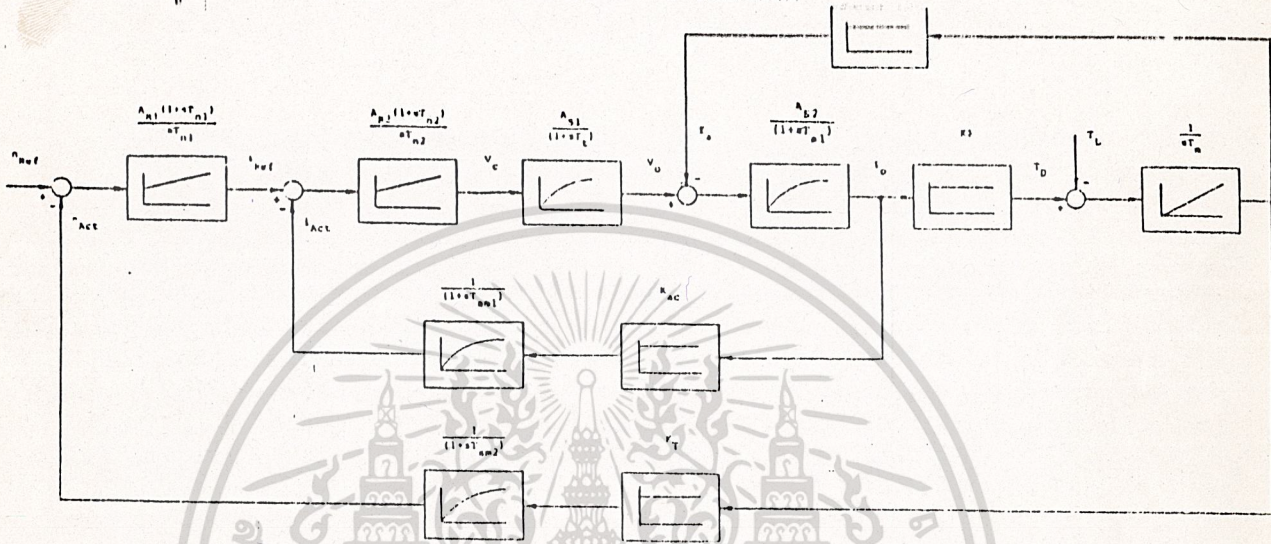


รูปที่ 6.10 แสดงบล็อกไดอแกรมของวงจรควบคุมชนิด PI

เอกสารนี้เป็นเอกสารที่สงวนไว้สำหรับการใช้งานเพื่อการศึกษาเท่านั้น ไม่อนุญาตให้นำไปใช้ประโยชน์ด้านการค้า
ไม่ว่ากรณีใดๆ ทั้งสิ้น อีกทั้งห้ามมิให้ดัดแปลงเนื้อหา และต้องอ้างอิงถึงเจ้าของเอกสารทุกครั้งที่มีการนำไปใช้

6.6 บล็อกไดอะแกรมของระบบควบคุมความเร็วรอบมอเตอร์ไฟฟ้ากระแสตรง

จากรายละเอียดของระบบควบคุมตั้งได้อธิบายไปแล้ว รูปที่ 6.15 จะแสดงบล็อกไดอะแกรมทั้งหมดของระบบนี้ ซึ่งในรูปนี้จะไม่แสดงวงจรจำกัดปริมาณลงไปด้วย ทั้งนี้เพราะในรูปนี้จะแสดง เฉพาะ เมื่อระบบยังไม่ทำงานเกินขีด



รูปที่ 6.15 แสดงบล็อกไดอะแกรมของระบบควบคุมความเร็วรอบมอเตอร์ไฟฟ้ากระแสตรง

6.7 บทสรุป

ในบทนี้ได้อธิบายถึงคุณสมบัติต่างๆ ของระบบควบคุมเมื่อมีวงจรถวลความถี่ PI เมื่อได้รับการเปลี่ยนแปลงคำสั่งและโหลด การออกแบบวงจรถวลความถี่ซึ่งทำให้ระบบทำงานดีที่สุด และอธิบายถึงรายละเอียดวงจรถวลความถี่ PI นอกจากนี้ยังได้แสดงวงจรจำกัดปริมาณซึ่งใช้ป้องกันมิให้กระแสไฟฟ้าไหลเข้าวงจรอาร์เมเจอร์ความเร็วรอบมอเตอร์เกินขีดและในตอนท้ายได้แสดงบล็อกไดอะแกรมรวมของระบบ ซึ่งในบทต่อไปจะอธิบายถึงการออกแบบวงจรถวลความถี่ของระบบควบคุมแต่ละ ลูและผลการทดลองเหล่านั้น

บทที่ 7

การทดลอง ผลการทดลอง

7.1 บทนำ

ในบทนี้จะแสดงผลการทดลองของระบบแต่ละระบบ ซึ่งในการทดลองเราจะทดลองทีละระบบ เพื่อทดสอบดูว่าในแต่ละระบบจะทำงานได้ดีที่สุดตามที่คำนวณไว้หรือไม่

7.2 รายละเอียดของมอเตอร์ไฟฟ้ากระแสตรงและแกนเนอร์เรเตอร์ไฟฟ้ากระแสตรงที่ใช้ในการทดลองมอเตอร์ที่ใช้ในการทดลองมีรายละเอียดดังนี้คือ

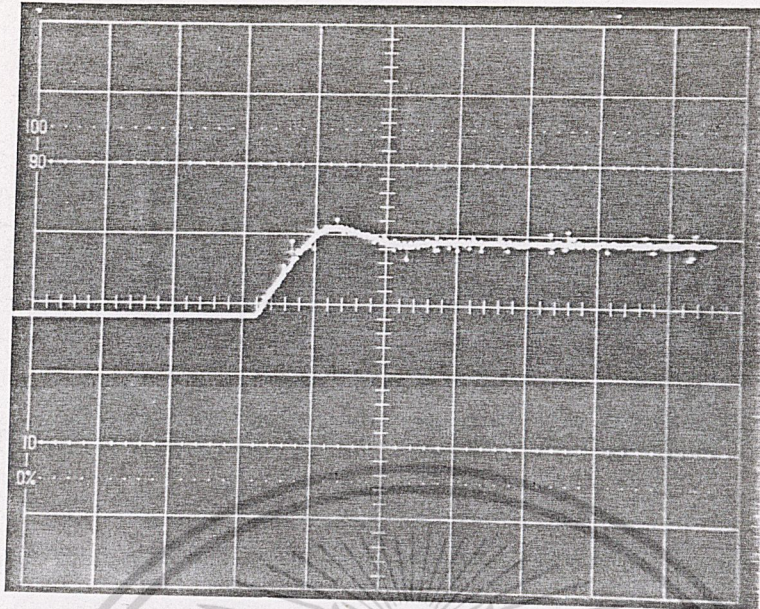
ความเร็วรอบสูงสุด	2000 rpm
ศักดาไฟฟ้าสูงสุดที่วงจรรอมาเจอร์	220 v
ศักดาไฟฟ้าสูงสุดที่วงจรรสร้างสนามแม่เหล็ก	220 v
ขนาดกำลังมอเตอร์	0.37 kw
กระแสไฟฟ้าตรงที่เข้าวงจรรอมาเจอร์สูงสุด	2.4 A

ในการทดลองนี้ใช้แกนเนอร์เรเตอร์ไฟฟ้ากระแสตรงเป็นโหลดของมอเตอร์ ซึ่งแกนเนอร์เรเตอร์มีรายละเอียดดังนี้คือ

ความเร็วรอบสูงสุด	2000 rpm
ศักดาไฟฟ้าสูงสุดที่วงจรรอมาเจอร์	220 v
ศักดาไฟฟ้าสูงสุดที่วงจรรสร้างสนามแม่เหล็ก	220 v
ขนาดกำลังของแกนเนอร์เรเตอร์	0.37 kw
ขนาดกระแสที่ได้สูงสุด	2.4 A

7.3 การทดลองและผลการทดลอง7.3.1 การทดลองระบบควบคุมกระแสไฟฟ้า

การทดลองระบบควบคุมกระแสไฟฟ้านี้ จะทดลองดูผลการตอบสนองของระบบต่อการได้รับคำสั่งในทันทีทันใด ซึ่งในการทดลองลักษณะ เช่นนี้จะไม่มีพิจารณาผลของโหลด ดังนั้นในการทดลองนี้จะล๊อคโรเตอร์ของมอเตอร์ให้หยุดนิ่ง แล้วจึงทำการทดลองโดยให้คำสั่งในทันทีทันใด



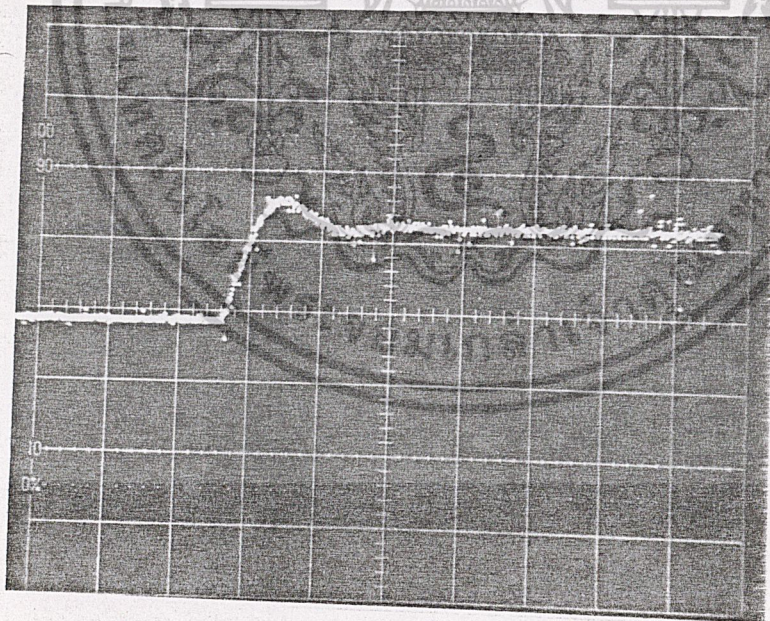
(ก)

1.0A

แกนตั้ง 0.5A/DIV

0.5A

แกนนอน 1.0S/DIV



(ข)

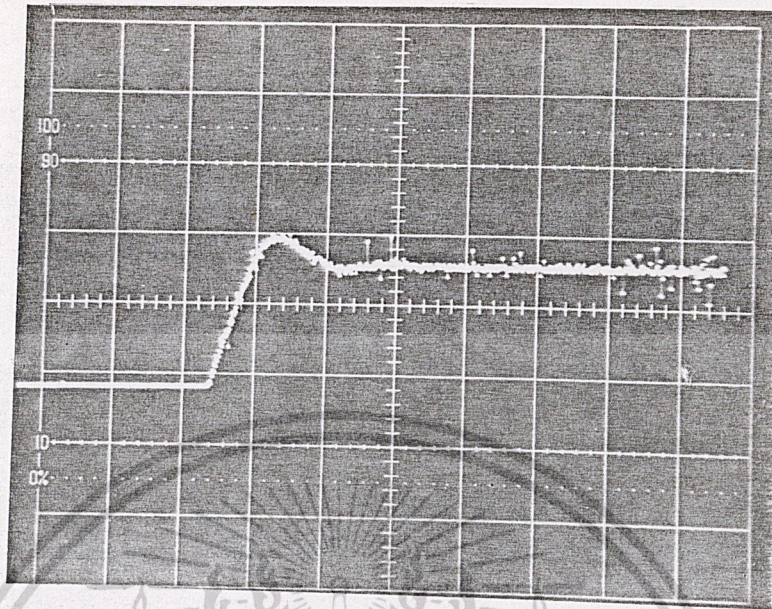
2.0A

แกนตั้ง 1.0A/DIV

1.0A

แกนนอน 0.5S/DIV

เอกสารนี้เป็นเอกสารที่สงวนไว้สำหรับการใช้งานเพื่อการศึกษาเท่านั้น ไม่อนุญาตให้นำไปใช้ประโยชน์ด้านการค้า
ไม่ว่ากรณีใดๆ ทั้งสิ้น อีกทั้งห้ามมิให้ตัดแปลงเนื้อหา และต้องอ้างอิงถึงเจ้าของเอกสารทุกครั้งที่มีควารนำไปใช้

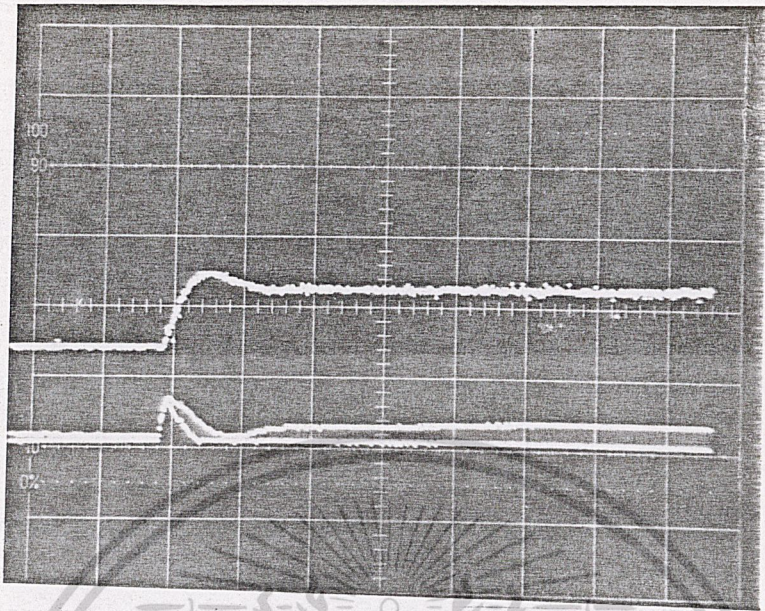


(ค)

รูปที่ 7.1 แสดงผลการตอบสนองของระบบควบคุมกระแสไฟฟ้าตรงไหลเข้า
วงจรรีอาร์มาเจอร์ เมื่อได้รับคำสั่งในทันทีทันใดและโรเตอร์ของ
มอเตอร์ถูกล็อคไว้ (ก) เมื่อได้รับคำสั่งเพิ่มกระแสไฟฟ้าจาก
0.5 A ไปยัง 1.0 A (ข) เมื่อได้รับคำสั่งเพิ่มกระแสไฟฟ้าจาก
1.0 A ไปยัง 2.0 A (ค) เมื่อได้รับคำสั่งเพิ่มกระแสไฟฟ้าจาก
2.0 A ไปยัง 2.4 A

7.3.2 การทดลองระบบควบคุมความเร็ว

- (1) การทดลองนี้จะทำการทดลองเมื่อมอเตอร์ไม่มีโหลด และระบบได้รับคำสั่งให้เพิ่ม
ความเร็วรอบของมอเตอร์อย่างทันทีทันใด โดยที่
- (ก) ระบบได้รับคำสั่งให้เพิ่มความเร็วของมอเตอร์จาก 500 รอบต่อนาทีไปยัง 800
รอบต่อนาที
- (ข) ระบบได้รับคำสั่งให้เพิ่มความเร็วของมอเตอร์จาก 800 รอบต่อนาทีไปยัง
1,000 รอบต่อนาที



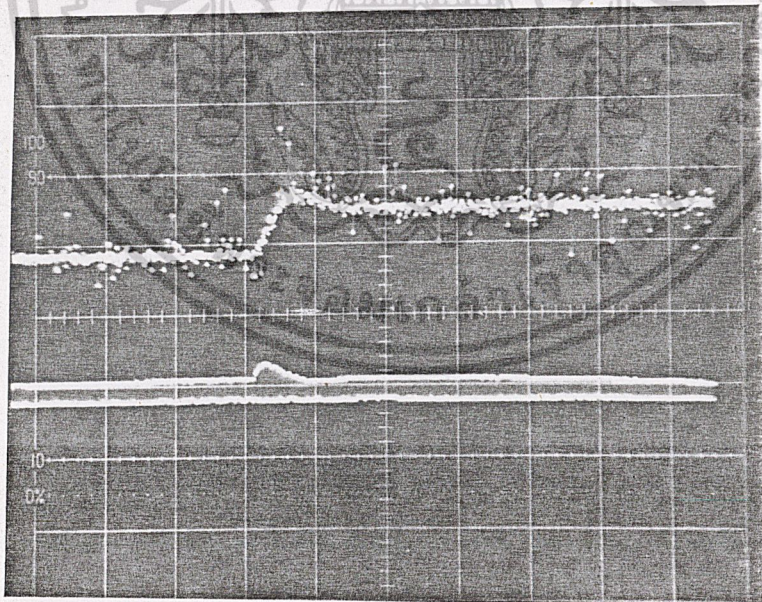
(ก)

800rpm

แกนตั้ง 0.5A/DIV

500rpm

แกนนอน 0.5S/DIV



(ข)

1000rpm

แกนตั้ง 0.5A/DIV

รูปที่ 7.2

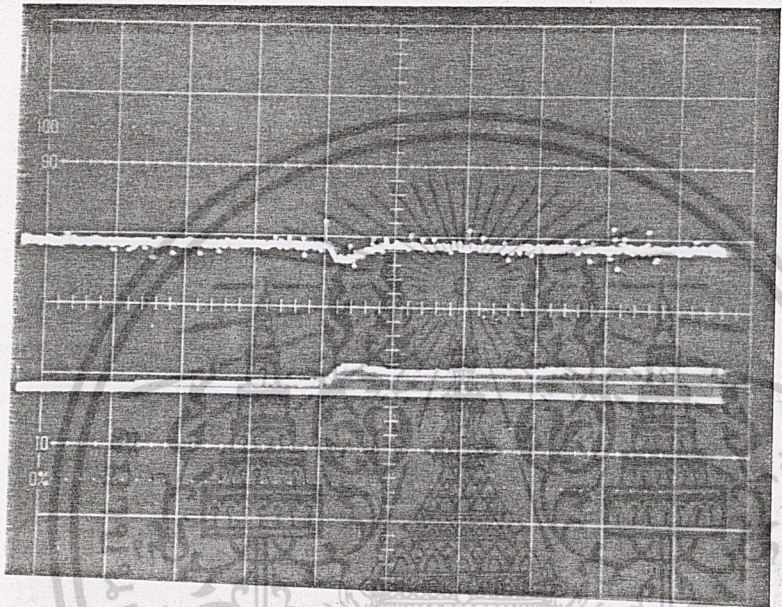
800 rpm

แกนนอน 0.5S/DIV

เอกสารนี้เป็นเอกสารที่สงวนไว้สำหรับการใช้งานเพื่อการศึกษาเท่านั้น ไม่อนุญาตให้นำไปใช้ประโยชน์ด้านการค้า
ไม่ว่ากรณีใดๆ ทั้งสิ้น อีกทั้งห้ามมิให้ดัดแปลงเนื้อหา และต้องอ้างอิงถึงเจ้าของเอกสารทุกครั้งที่มีการนำไปใช้

(2) การทดลองเมื่อระบบควบคุมความเร็วรอบมอเตอร์ได้รับโหลดในทันทีทันใด ขณะที่มอเตอร์หมุนด้วยความเร็วรอบ 1,000 รอบต่อนาที โดยที่

- (ก) เมื่อมอเตอร์ได้รับโหลดทันทีทันใด 31.25% ของพิกัดโหลด
- (ข) เมื่อมอเตอร์ได้รับโหลดทันทีทันใด 62.25% ของพิกัดโหลด
- (ค) เมื่อมอเตอร์ได้รับโหลดทันทีทันใด 100 % ของพิกัดโหลด



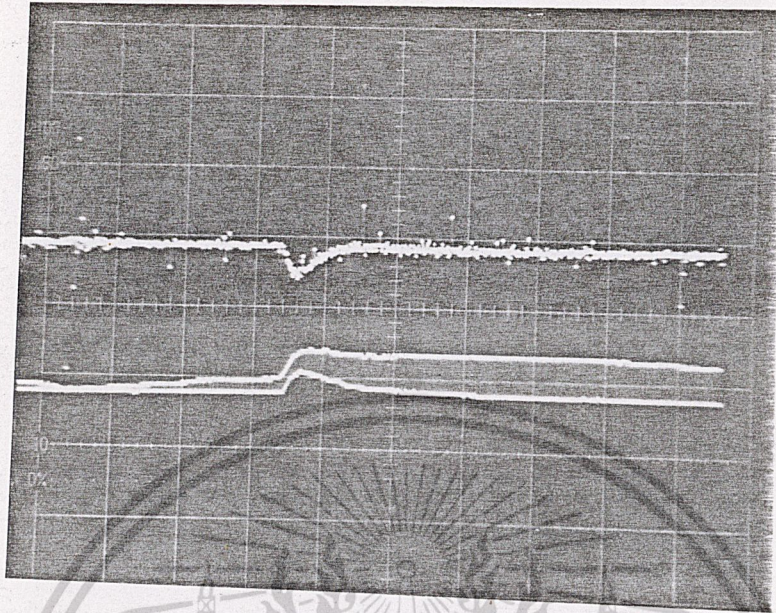
(ก)

31.25% แกนตั้ง 0.5A/DIV

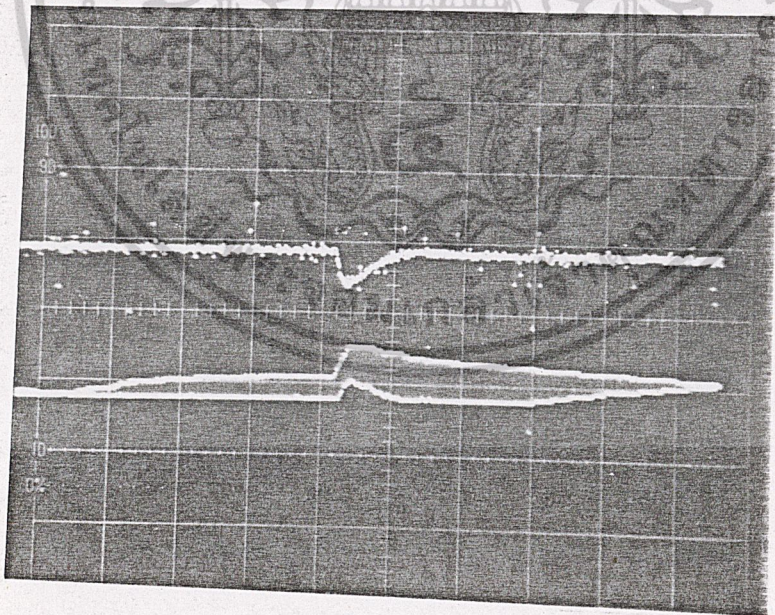
0% แกนนอน 0.5S/DIV

1000rpm

เอกสารนี้เป็นเอกสารที่สงวนไว้สำหรับการใช้งานเพื่อการศึกษาเท่านั้น ไม่อนุญาตให้นำไปใช้ประโยชน์ด้านการค้า
ไม่ว่ากรณีใดๆ ทั้งสิ้น อีกทั้งห้ามมิให้ดัดแปลงเนื้อหา และต้องอ้างอิงถึงเจ้าของเอกสารทุกครั้งที่มีการนำไปใช้

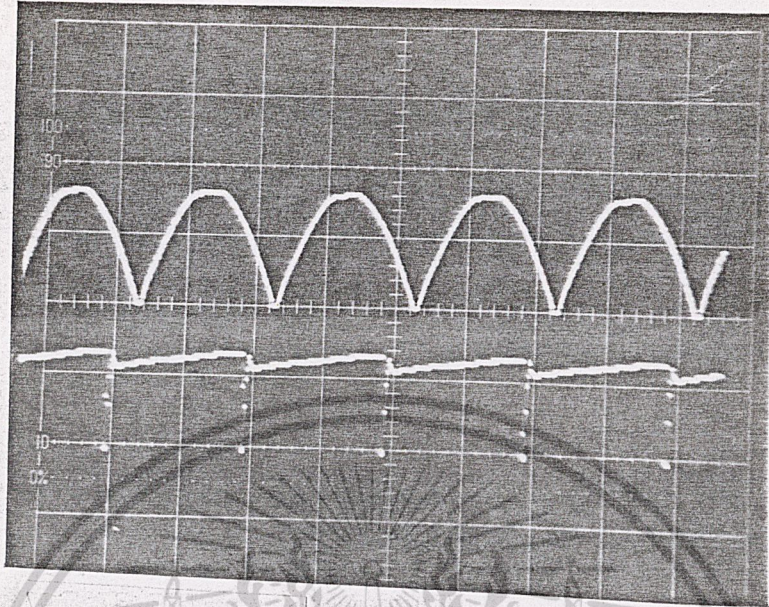


(ข) 62.50% แขนตั้ง 0.5A/DIV
 0% แขนนอน 0.5S/DIV



(ค) 100% แขนตั้ง 0.5A/DIV
 รูปที่ 7.3 0% แขนนอน 0.5S/DIV

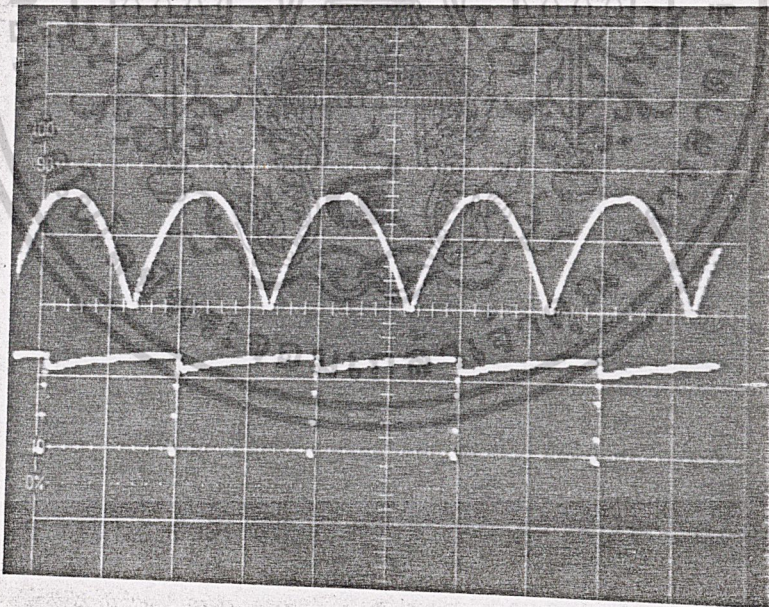
เอกสารนี้เป็นเอกสารที่สงวนไว้สำหรับการใช้งานเพื่อการศึกษาเท่านั้น ไม่อนุญาตให้นำไปใช้ประโยชน์ด้านการค้า
 ไม่ว่ากรณีใดๆ ทั้งสิ้น อีกทั้งห้ามมิให้ดัดแปลงเนื้อหา และต้องอ้างอิงถึงเจ้าของเอกสารทุกครั้งที่มีการนำไปใช้



แกนตั้ง 10V/DIV
แกนนอน 5ms/DIV

(ก)

แกนตั้ง 10V/DIV
แกนนอน 5ms/DIV



(ข)

รูปที่ 7.4 แสดงสัญญาณทริก (ก) ขณะที่มอเตอร์ไม่มีโหลด

(ข) ขณะที่มอเตอร์มีโหลด

บทที่ 8

บทสรุป

ในปริญาโทฉบับนี้ ได้แสดงการออกแบบ และการสร้างระบบควบคุมความเร็วรอบมอเตอร์ไฟฟ้ากระแสตรงชนิดกระตุ้นแยก โดยใช้วงจรถอิลีคทรอนิคส์กำลังทำหน้าที่ขับเคลื่อนมอเตอร์ และมีระบบควบคุมสองระบบทำหน้าที่ควบคุมการทำงานของระบบซึ่งทั้งสองระบบประกอบด้วย ระบบควบคุมกระแสไฟฟ้าตรงไหลเข้าวงจรถอิลีคทรอนิคส์เป็นระบบควบคุมภายใน และระบบควบคุมความเร็วรอบเป็นระบบควบคุมภายนอก วงจรถอิลีคทรอนิคส์ออกแบ โดยใช้วงจรถอิลีคทรอนิคส์ชนิด PI ซึ่งมีคุณสมบัติทำให้ค่าความผิดพลาดเป็นศูนย์ จากผลการทดลองระบบที่สร้างขึ้นสามารถสังเกตได้ว่า ถึงแม้ผลการทดลองมีข้อแตกต่างจากการคำนวณบ้างแต่ก็ไม่มากนัก ทั้งนี้เพราะว่าในการคำนวณบางจุดจะใช้วิธีการคำนวณโดยการประมาณ แต่ถึงอย่างไรก็ดีเมื่อพิจารณาความต้องการหลักของระบบนี้คือ ระบบจะต้องสามารถรักษาความเร็วรอบที่ต้องการได้ ถึงแม้ว่าโหลดของระบบจะเปลี่ยนแปลงไป ซึ่งผลจากการทดลองเพิ่มโหลดให้ระบบในเท่าที่ทันได้ 31.25% , 62.25% , และ 100% ของพิกัดโหลด ระบบก็ยังคงสามารถรักษาความเร็วรอบที่ต้องการได้ในเวลาอันรวดเร็ว สามารถสรุปผลได้ว่าการทำงานของระบบนี้เข้าที่เข้าหาพอใจ

Part List

Resistance (ohms W)			Capacitance (F V)			Diode	
R ₁	33	2	C ₁	0.1μ	630	D ₁	1N 4148
R ₂	33	2	C ₂	0.1μ	630	D ₂	LED
R ₃	2.2k	1/4	C ₃	22μ	25	D ₃	88C10
R ₄	1.0k	1/4	C ₄	0.1μ	63	D ₄	LED
R ₅	5.6k	1/4	C ₅	22μ	25	D ₅	1N 4148
R ₆	820k	1/4	C ₆	0.1μ	63	D ₆	88C7V5
R ₇	560k	1/4	C ₇	0.3μ	25	D ₇	1N 4148
R ₈	270	1/4	C ₈	47μ	25	D ₈	1N 4148
R ₉	33	1/4	C ₉	0.1μ	63	D ₉	1N 4148
R ₁₀	560	1/4	C ₁₀	22μ	63	D ₁₀	1N 4148
R ₁₁	68k	1/4	C ₁₁	0.022μ	630	D ₁₁	1N 4148
R ₁₂	68k	1/4	C ₁₂	0.33μ	63	D ₁₂	1N 4148
R ₁₃			C ₁₃	4.7μ	63	D ₁₃	1N 4148
R ₁₄	22k	1/4	C ₁₄	0.68μ	50	D ₁₄	1N 4148
R ₁₅	18k	1/4	C ₁₅	0.01μ	100	D ₁₅	1N 4148
R ₁₆	820k	1/4	C ₁₆	0.1μ	63	D ₁₆	1N 4148
R ₁₇	3.3k	1/4	C ₁₇	0.22μ	63	D ₁₇	1N 4148
R ₁₈	1k	1/4	C ₁₈	0.1μ	63	D ₁₈	1N 4148
R ₁₉	1k	1/4	C ₁₉	47μ	25	D ₁₉	BY 255
R ₂₀	27k	1/4	C ₂₀	330μ	50	D ₂₀	BY 255
R ₂₁	33k	1/4	C ₂₁	K1K	103	D ₂₁	BY 255
R ₂₂	33k	1/4	C ₂₂	K1K	103	D ₂₂	BY 255
R ₂₃	10k	1/4	C ₂₃	4.7n	-	D ₂₃	BZX61C12
R ₂₄	22k	1/4	C ₂₄	10μ	63	D ₂₄	BZX61C12

เอกสารนี้เป็นเอกสารที่มอบไว้สำหรับการใช้งานเพื่อการศึกษานั้น ไม่นอญญาให้นำไปใช้ประโยชน์ด้านการค้า
ไม่ว่ากรณีใดๆ ทั้งสิ้น อีกทั้งห้ามมิให้ดัดแปลงเนื้อหา และต้องอ้างอิงถึงเจ้าของเอกสารทุกครั้งที่มีการนำไปใช้

R ₂₅	10k	1/4	C ₂₅	4.7n	-	D ₂₅	1N 4148
R ₂₆	1M	1/2	C ₂₆	1μ	50	D ₂₆	1N 4148
R ₂₇	10k	1/4	C ₂₇	100n	-	D ₂₇	1N 4148
R ₂₈	82k	1/4				D ₂₈	BZY88C6V8
R ₂₉	55k	1/4	Transistor			IC	
R ₃₀	1k	1/4	TR1 BD 437			IC1 LM348	
R ₃₁	10k	1/4	TR2 9013			IC2 LM348	
R ₃₂	22k	1/4	TR3 9013			VDR	
R ₃₃	10k	1/4	TR4 9013			VDR1 Z21L 321	
R ₃₄	12k	1/4	BR REC			VDR2 S20K 460	
R ₃₅	1.2k	1/4	REC1 SKB 1.2/04				
R ₃₆	10k	1/4	REC2 SKB 1.2/04				
R ₃₇	470	1/2					
R ₃₈	560k	1					
R ₃₉	820k	1/2					
R ₄₀	820k	1/2					
R ₄₁	33k	1/4					
R ₄₂	33k	1/4					
R ₄₃	33k	1/4					
R ₄₄	33k	1/4					
R ₄₅	10k	1/4					
R ₄₆	22k	1/4					
R ₄₇	82k	1/4					
R ₄₈	10k	1/4					
R ₄₉	10k	1/4					

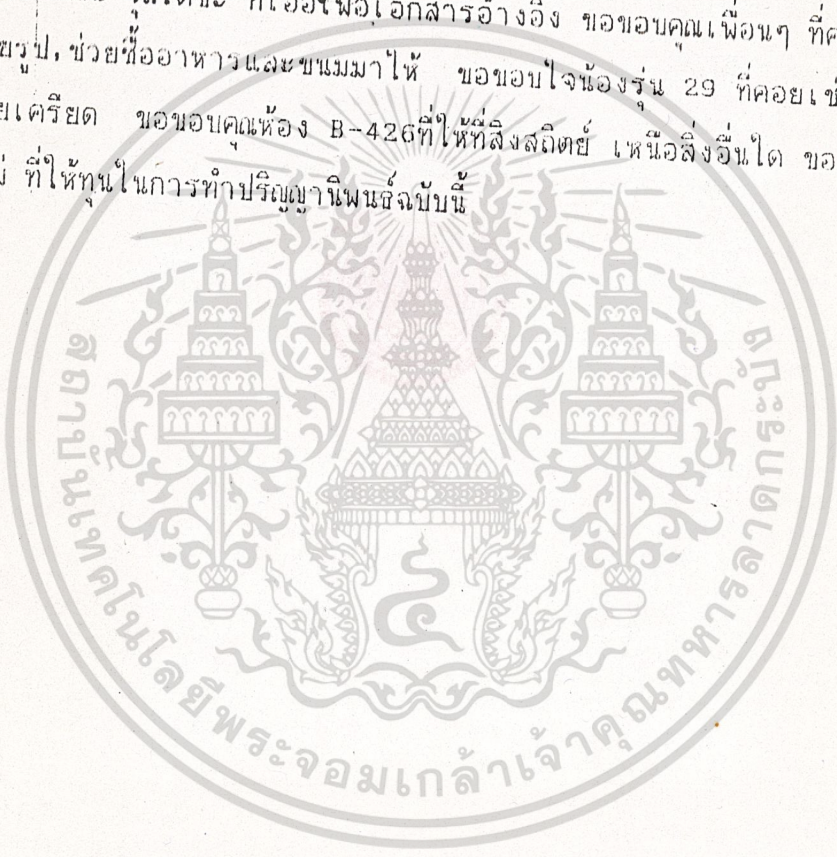
เอกสารนี้เป็นเอกสารที่สงวนไว้สำหรับการใช้งานเพื่อการศึกษาเท่านั้น ไม่อนุญาตให้นำไปใช้ประโยชน์ด้านการค้า
ไม่ว่ากรณีใดๆ ทั้งสิ้น อีกทั้งห้ามมิให้ดัดแปลงเนื้อหา และต้องอ้างอิงถึงเจ้าของเอกสารทุกครั้งที่มีการนำไปใช้

R₅₀ 820 1/4R₅₁ 2.2k 1/4R₅₂ 4.7k 1/4R₅₃ 32k 1/4R₅₄ 150k 1/4R₅₅ 1.5k 1/4R₅₆ 150 2R₅₇ 150 2R₅₈ 10k 1/4R₅₉ 220k 1/2R₆₀ 47 1/2R₆₁ 60 1/2R₆₂ 100 1/2R₆₃ -R₆₄ 4.7k 1/4R₆₅ 2.2k 1/4R₆₆ 2.2k 1/4

เอกสารนี้เป็นเอกสารที่สงวนไว้สำหรับการใช้งานเพื่อการศึกษาเท่านั้น ไม่นอนุญาตให้นำไปใช้ประโยชน์ด้านการค้า
ไม่ว่ากรณีใดๆ ทั้งสิ้น อีกทั้งห้ามมิให้ดัดแปลงเนื้อหา และต้องอ้างอิงถึงเจ้าของเอกสารทุกครั้งที่มีการนำไปใช้

กิติกรรมประกาศ

ขอขอบคุณ อาจารย์ วรศักดิ์ จิตรภักดี เป็นอย่างยิ่ง ที่ท่านได้ประสิทธิ์ประสาทวิชา
 ความรู้แก่ผู้เขียน ตลอดจนให้คำแนะนำและช่วยแก้ปัญหาต่างๆ มาโดยตลอดจนปริญญา
 นิพนธ์นี้สำเร็จลงได้ ขอขอบคุณ พี่อาร์, พี่อ่อง, พี่ก้อย ที่ให้คำแนะนำบางเรื่อง ขอขอบ
 คุณอาจารย์ในทวีปนี้ จุลเดชะ ที่เอื้อเฟื้อเอกสารอ้างอิง ขอขอบคุณเพื่อนๆ ที่คอยให้กำลังใจ,
 ช่วยค่าขลุ่ย, ช่วยซื้ออาหารและขนมมาให้ ขอขอบคุณน้องรุ่น 29 ที่คอยเข้าการต้อนรับมา
 ให้อ่านคลายเครียด ขอขอบคุณห้อง B-426 ที่ให้สิ่งสละสิทธิ์ เห็นสิ่งอื่นใด ขอขอบพระคุณ
 คุณพ่อ คุณแม่ ที่ให้ทุนในการทำปริญญาฉบับนี้



เอกสารนี้เป็นเอกสารที่สงวนไว้สำหรับการใช้งานเพื่อการศึกษาเท่านั้น ไม่อนุญาตให้นำไปใช้ประโยชน์ด้านการค้า
 ไม่ว่ากรณีใดๆ ทั้งสิ้น อีกทั้งห้ามมิให้ดัดแปลงเนื้อหา และต้องอ้างอิงถึงเจ้าของเอกสารทุกครั้งที่มีการนำไปใช้

เอกสารอ้างอิง

- [1] P.C. Sen, "THYRISTOR DC DRIVES", John Wiley & Sons, Inc., 1988
- [2] S.B. Dewan and A. Stranughen, "POWER SEMICONDUCTOR CIRCUITS" John Wiley & Sons, Inc., 1975.
- [3] Cyril W. Lander, "POWER ELECTRONICS", McGRAW-HILL Book Company(UK) LTD, 1981.
- [4] R.K. Sugandhi and K.K. Sugandhi, "THYRISTORS THEORY AND APPLICATIONS", Wiley Eastern LTD, 1981.
- [5] Friedrich Frohr and Fritz Ortteneburger, "INTRODUCTION TO ELECTRONICS CONTROL ENGINEERING", Siemens Aktiengesellschaft Heyden & Son LTD, 1982.
- [6] Equipment of Research Laboratories and Training Center. E48, Siemens Aktiengesellschaft, 1987.
- [7] David F. Stout and Milton Kanfman, "HANDBOOK OF OPERATIONAL AMPLIFIER CIRCUIT DESIGN", McGRAW-HILL Book Company, 1976.
- [8] John J. D'Azzo and Constantine H. Houpis, "LINEAR CONTROL SYSTEM ANALYSIS AND DESIGN CONVENTION AND MODERN", McGRAW-HILL INC, 1975.
- [9] Gunnar Kronborg, "INDUSTRIAL D.C. MOTOR DRIVE", ASEA JOURNAL 1975, Vol 48, No 5.
- [10] David Finney, "THE POWER THYRISTOR AND ITS APPLICATION", McGRAW-HILL Book Company(UK) LTD, 1980.
- [11] T. Krishan and B. Ramaswami, "SPEED CONTROL OF D.C. MOTOR USING THYRISTOR DUAL CONVERTER", IEEE Trans. Ind. Elec. and Cont. Inst., Vol. IECT-23, No 4, 1976.

เอกสารนี้เป็นเอกสารที่สงวนไว้สำหรับการใช้งานเพื่อการศึกษาเท่านั้น ไม่อนุญาตให้นำไปใช้ประโยชน์ด้านการค้า
ไม่ว่ากรณีใดๆ ทั้งสิ้น อีกทั้งห้ามมิให้ดัดแปลงเนื้อหา และต้องอ้างอิงถึงเจ้าของเอกสารทุกครั้งที่มีการนำไปใช้